



## The effect of temperature, time and the use of ultrasonic waves on the process of Deiri dates hydration in Khuzestan

**Maedeh Benitorfizadeh<sup>1</sup> | Yaghoob Mansoori<sup>2</sup> | Ahmad Mostaan<sup>3</sup>**

1. Department of Biosystems Engineering, Faculty of Agriculture, Shahid Chamran University of Ahvaz, Ahvaz, Iran.  
E-mail: [ch.m.banitorfi@gmail.com](mailto:ch.m.banitorfi@gmail.com)
2. Corresponding Author, Department of Biosystems Engineering, Shahid Chamran University of Ahvaz, Ahvaz, Iran.  
E-mail: [Y.mansoori@scu.ac.ir](mailto:Y.mansoori@scu.ac.ir)
3. Date Palm and Tropical Fruits Research Institute, Ahvaz, Iran. E-mail: [a.mostaan@areeo.ac.ir](mailto:a.mostaan@areeo.ac.ir)

---

### Article Info

### ABSTRACT

**Article type:** Research Article

**Article history:**

**Received:** May. 18, 2024

**Revised:** June. 23, 2024

**Accepted:** July. 1, 2024

**Published online:** Winter 2024

**Keywords:**

**Date, Deiri, Hydration, Response surface method, Ultrasound**

This study investigates the impact of the hydration process on the softening, desirability, and quality of Deiri dates under the influence of ultrasound waves. The experimental setup included two ultrasound application conditions (with ultrasound and without ultrasound), five water temperatures (30, 40, 50, 60, and 70 degrees Celsius), and five soaking durations (40, 55, 70, 85, and 100 minutes). The qualitative parameters examined were moisture content, color indices L, a, b, ΔE, total sugar, and reduced sugar. Textural characteristics such as firmness, chewability, gumminess, and springiness were also evaluated. The response surface methodology (RSM) with a central composite design (CCD) was employed for data analysis using the Design Expert 10 software. The results demonstrated that the proposed regression models were significant in determining the effects of hydration on moisture content, reduced sugar, total sugar, color indices L and ΔE, firmness, chewability, cohesiveness, and springiness of the treated samples. Specifically, the moisture content and reduced sugar of samples treated with ultrasonic hydration were 7.47% and 1.34 times higher, respectively, compared to those treated without ultrasound, indicating a pronounced effect of ultrasound. However, the color indices a and b were not significant at the 0.05 level. Optimization results indicated that the optimal conditions for the hydration process of Deiri date fruits involved a temperature of 40 degrees Celsius and a duration of 85 minutes with the application of ultrasound. While ultrasound had a significant effect on several traits, its economic justification must also be considered.

---

Cite this article: Benitorfizadeh, M., Mansoori, Y., & Mostaan, A. (2024). The effect of temperature, time and the use of ultrasonic waves on the process of Deiri dates hydration in Khuzestan., *Iranian Journal of Biosystem Engineering*, 54 (4), 29-46.  
<https://doi.org/10.22059/ijbse.2024.376685.665549>

© The Author(s).

Publisher: The University of Tehran Press.

DOI: <https://doi.org/10.22059/ijbse.2024.376685.665549>



## تأثیر دما، زمان و بکارگیری امواج فراصوت بر فرآیند رطوبت‌دهی خرمای دیری خوزستان

مائدۀ بنی طرفیزاده<sup>۱</sup> | یعقوب منصوری<sup>۲</sup> | احمد مستعان<sup>۳</sup>۱. گروه مهندسی بیوسیستم، دانشکده کشاورزی، دانشگاه شهید چمران اهواز، اهواز، ایران. رایانمۀ: [ch.m.banitorfi@gmail.com](mailto:ch.m.banitorfi@gmail.com)۲. نویسنده مسئول، گروه مهندسی بیوسیستم، دانشکده کشاورزی، دانشگاه شهید چمران اهواز، اهواز، ایران. رایانمۀ: [Y.mansoori@scu.ac.ir](mailto:Y.mansoori@scu.ac.ir)۳. پژوهشکده خرما و میوه‌های گرم‌سیری کشور، اهواز، ایران. رایانمۀ: [a.mustaan@areeo.ac.ir](mailto:a.mustaan@areeo.ac.ir)

## اطلاعات مقاله

## چکیده

در تحقیق حاضر، تأثیر فرآیند رطوبت‌دهی با آب گرم (در دمای ۳۰، ۴۰، ۵۰، ۶۰ و ۷۰ درجه سلسیوس) و زمان غوطه‌وری (۴۰، ۵۰، ۷۰ و ۱۰۰ دقیقه) به کمک امواج فراصوت (در دو سطح با فراصوت و بدون فراصوت) بر نرم کردن و کیفیت خرمای دیری مورد بررسی قرار گرفت. ویژگی‌های کیفی همچون درصد رطوبت، شاخص‌های رنگی L, a, b, ΔE، قند کل، قند احیاء، ویژگی‌های باقی نظیر سفتی بافت، قابلیت جویدگی، هم‌چسبی و فریت بررسی شد. برای طرح ریزی آزمایش و تجزیه و تحلیل نتایج از روش سطح پاسخ (RSM) با طرح آزمایش مرکب مرکزی (CCD) در محیط نرم افزار 10 Design Expert استفاده شد. نتایج نشان داد مدل رگرسیونی پیشنهادی در تعیین اثر فرآیند رطوبت‌دهی بر درصد رطوبت، قند احیاء، قند کل، شاخص‌های رنگی L, a, b, ΔE، سفتی، قابلیت جویدگی، هم‌چسبی و فریت نمونه‌های تحت تیمار معنی دار بود. درصد رطوبت و قند احیاء نمونه‌های تحت تیمار رطوبت دهی با فراصوت نسبت به تیمار بدون فراصوت به ترتیب ۷/۴۷ درصد و ۱/۳۴ برابر بیشتر بود که بیان کننده تأثیر تیمار فراصوت بر نمونه‌ها است. شاخص‌های رنگی a, b در سطح ۰/۰۵ غیر معنی دار بودند. براساس بهینه‌یابی انجام شده، دمای ۴۰ درجه سلسیوس و زمان ۸۵ دقیقه با اعمال فراصوت رامی توان به عنوان شرایط بهینه فرآیند رطوبت‌دهی میوه خرمای دیری تحت آزمایش، اعلام نمود. باید توجه داشت که استفاده از امواج فراصوت با وجود تأثیر بر برخی صفات، باید از نظر اقتصادی نیز توجیه‌پذیر باشد.

نوع مقاله: مقاله پژوهشی

تاریخ دریافت: ۱۴۰۳/۲/۲۹

تاریخ بازنگری: ۱۴۰۳/۴/۳

تاریخ پذیرش: ۱۴۰۳/۴/۱۱

تاریخ انتشار: زمستان ۱۴۰۲

## واژه‌های کلیدی:

خرما، دیری، رطوبت دهی، روش سطح پاسخ، فراصوت

استناد: بنی طرفیزاده، مائدۀ؛ منصوری، یعقوب و مستعان، احمد (۱۴۰۳). تأثیر دما، زمان و بکارگیری امواج فراصوت بر فرآیند رطوبت‌دهی خرمای دیری خوزستان، مجله مهندسی بیوسیستم ایران، ۵۴ (۴)، ۴۶-۲۹. <https://doi.org/10.22059/ijbse.2024.376685.665549>

ناشر: مؤسسه انتشارات دانشگاه تهران.

© نویسنده‌گان.

DOI: <https://doi.org/10.22059/ijbse.2024.376685.665549>

## مقدمه

خرما یکی از محصولات عمده باغی ایران و یکی از منابع مهم بالقوه تحصیل ارز برای کشور می‌باشد. طبق آمار فائقه، در سال ۲۰۲۲ ایران با تولید حدود ۱۰۳ میلیون و عملکرد ۸/۴۲ تن بر هکتار جایگاه دوم را پس از مصر داشته است. در این سال مصر تولید مصر ۱/۷۳ میلیون تن و عملکرد آن ۲۹/۶ تن بر هکتار بوده است. با وجود میزان بالای تولید، ایران تنها حدود ۱۵/۶۹ درصد از متوسط میزان سالانه صادرات جهان و ۶/۴۲ درصد از درآمد حاصل از صادرات جهانی این محصول را در اختیار داشته است (FAO, 2022). طبق آمارنامه کشاورزی سال ۱۴۰۱، خرما از نظر مقدار تولید با ۱/۶ میلیون تن و سهم ۶/۳ درصدی از کل میزان تولید محصولات باغی کشور، چهارمین محصول مهم باغی کشور پس از سیب، پرتقال و انگور بوده است. استان فارس ۲۰/۸ درصد و استان خوزستان با ۱۷/۳ درصد بیشترین سهم را در تولید این محصول داشته‌اند (بی‌نام، ۱۴۰۲).

با وجود بیش از ۴۰۰ رقم خرما در کشور، تنها ارقامی همچون مضافتی، کبکاب، استعمران، ربی، شاهانی، زاهدی، برحی، پیارم، دیری و گنطار به صورت تجاری تولید می‌شوند و بقیه ارقام مصرف محلی دارند. ارقام خرما براساس رطوبت به سه دسته نرم (مانند مضافتی، مردانسگ، برحی، خاصوی)، نیمه خشک (مانند استعمران، مجمل، دگلت نور، پیارم، فرسی، حلاوی) و خشک (نظیر زاهدی، دیری، ربی، کلگی) تقسیم می‌شوند. رقم دیری جزء ارقام خشک و بازارپسند استان خوزستان است. میوه آن علاوه بر مصرف داخلی، در خارج از کشور نیز طوفداران خاص خود را دارد. تاکنون بالغ بر پانصد هزار اصله نهال از ارقام مرغوب و تجاری رقم دیری تولید و در سطح استان‌های خرما خیز کشور توزیع شده است (مستغان و همکاران، ۱۳۹۶).

طبق اطلاعات کارشناسان خبره، سطح کشت این رقم خرما حدود ۲ درصد سطح نخلات استان خوزستان و حدود ۹۰۰ هکتار برآورد شده است. اگرچه نامی از خرمای دیری در سبد صادراتی خرمای کشور نیست اما این رقم در زمرة ارقام تجاری جهان بوده و با توجه به بافت آن، برخی کشورها برای توسعه آن در مناطق مرطوب و ساحلی اقدام نموده‌اند. در کشور ما هم به دلیل مقاومت نسبی نخل آن به رطوبت، در مناطق مرطوب و ساحلی، در کنار سایر ارقام در حال توسعه می‌باشد. حمل و نقل میوه خرمای دیری به دلیل خشک بودن بافت و مقاومت مکانیکی آن، آسان است (مستغان و همکاران، ۱۳۹۶). با این وجود، افزایش سفتی بافت آن در طی زمان نگهداری، نخستین مشکل صنایع تولید و فرآوری این محصول گرانبها به شمار می‌رود (مستغان و همکاران، ۱۳۹۲). در راستای بررسی و حل این مشکل، تحقیق حاضر به تأثیر عوامل دما، زمان و بکارگیری امواج فراصوت هنگام رطوبت‌دهی بر کاهش سفتی بیش از حد بافت میوه در کنار تأثیر آنها بر سایر صفات فیزیکی و شیمیایی میوه پرداخته است.

## پیشینهٔ پژوهش

در جهان، مشکل مشابه آنچه که در مورد سفتی بسیار زیاد میوه خرمای دیری بیان شد، برای رقم دگلت نور<sup>۱</sup> وجود دارد که محققان برای رفع آن از روشهای مختلف رطوبت‌دهی<sup>۲</sup> استفاده کرده‌اند. هدف عمده رطوبت دهی نرم کردن بافت محصول رسیده است. شاید ریگ (۱۹۷۵) اولین فردی باشد که در کتاب خود ضمن بررسی جامع علل و منشأهای مختلف خشکی و سفتی بیش از حد میوه خرما، روشهای رایج رطوبت‌دهی خرما در زمان خود را جمع‌بندی نموده است. طبق این کتاب، در کالیفرنیا برای اصلاح بافت خرمای دگلت نور، میوه‌ها تحت فشار بخار psi ۵ و درجه حرارت ۶۰ درجه سلسیوس به مدت ۴-۸ ساعت قرار داده شده، سپس برای خنک شدن به یخچال منتقل می‌شده‌اند. در نتیجه این عمل، خرمایی با بافت نرم تر حاصل می‌شود. همچنین اشاره شده است که در الجزایر نیز خرما در دمای ۶۵ تا ۷۰ درجه سلسیوس و رطوبت نسبی ۵۵ درصد به مدت ۲-۴ ساعت قرار داده می‌شده است که حاصل کار، محصولی با کیفیت بالا، بافت نرم و مناسب برای مصرف با بازار پسندی بالا بود. خرمای دگلت نور تولید شده در الجزایر به دلیل قرارگیری درمنعرض گرمای کمتری در هنگام رسیدگی، راحت‌تر و سریعتر از خرمای دگلت نور تولیدی کالیفرنیا نرم می‌شوند. علاوه بر دمای هوا پس از رسیدگی محصول، اقلیم منطقه و نوع خاک نیز بر شدت خشکی و سفتی میوه خرمای دگلت نور مؤثر است. در این کتاب، ترکیب روش قرار دادن میوه‌ها در معرض خلاء نسبی در کنار رطوبت‌دهی با بخار آب و حتی استفاده از آنزیم اینورتاز و مواد شیمیایی نظیر آلكالائین آمونیوم سولفات نیز از نظر دور نمانده است (Rygg, 1975). در تحقیق دیگری بوبکری و همکاران (۲۰۱۰) تأثیر رطوبت‌دهی به روش حمام آب گرم بر روی خرمای رقم دگلت نور را بررسی نموده‌اند. در این پژوهش، خرما در آب گرم با دمای ۲۵، ۴۵ و ۶۵ درجه سلسیوس به مدت ۶ ساعت غوطه ور شده،

1. Deglet Noor

2. Hydration

سپس میوه‌های خرمای مرطوب شده توسط هوای گرم با دمای ۳۵، ۴۰، ۴۵ و ۸۵ درجه سلسیوس خشک شد. نتایج نشان داد از منظر بهبود کیفیت میوه، استفاده از رطوبت‌دهی به در دمای ۴۵ درجه سلسیوس به مدت ۶ ساعت بهترین است لکن میزان رطوبتی که میوه جذب می‌کند برای نگهداری آن ایمن نیست. در نهایت در این تحقیق غوطه وری در دمای ۳۰ درجه سلسیوس به مدت ۸ ساعت به عنوان پیش‌تیمار و سپس خشک کردن در دمای متوسط ۶۰ درجه سلسیوس برای بدست آوردن محصول نهایی با کیفیت بالا و رطوبت استاندارد ۳۵ درصد (بر مبنای وزن خشک) مناسب‌ترین انتخاب معزی شده است (Boubekri et al., 2010). بربوج و همکاران (۲۰۱۶) ضمن اشاره به روش‌های رطوبت‌دهی رایج خرمای دگلت نور در آمریکا، الجزایر، فرانسه و آفریقا، تحقیقی را در راستای بهینه‌سازی روش استفاده توأم‌ان از غوطه‌وری در آب و بخاردهی خرمای دگلت نور انجام داده‌اند. نتایج این تحقیق نشان داد که عدمه فرآیند جذب آب توسط خرما در مرحله غوطه‌وری رخ می‌دهد و احتمالاً در فرآیند بخاردهی مقداری کمی آب جذب و رسیدگی میوه تکمیل می‌گردد. محققان خیساندن میوه خرمای دگلت نور (در آب با دمای ۳۰ درجه سلسیوس به مدت ۸ ساعت) و بخاردهی (دمای ۶۰ درجه سلسیوس و رطوبت نسبی ۹۰ درصد به مدت ۵-۱۰ ساعت بسته به رطوبت اولیه محصول) را به عنوان شرایط بهینه اعلام نمودند (Berrebeuh et al., 2016). اگرچه اغلب منابع محدود در دسترس به عملیات رطوبت‌دهی با هدف کاهش سفتی میوه خرمای دگلت نور پرداخته‌اند، کاربرد این عملیات محدود به این رقم نمی‌شود. در پژوهش مستغان و همکاران (۲۰۱۲) به بررسی تأثیر شرایط بخار دهی بر خصوصیات بافت خمیر خرمای رقم استعمراں پرداخته شده است. نتایج حاصله از این آزمایش نشان داد که بخاردهی خمیر خرمای استعمراں اثر معنی‌داری بر حفظ خواص بافتی نظیر سفتی بافت، همچسبی، دگرچسبی، فریت، خاصیت جویدگی و حفظ نرمی آن در طول مدت نگهداری دارد. بخاردهی در مدت زمان بیش از ۱۰ دقیقه و نگهداری آن در دمای ۲۵ درجه سلسیوس موجب حفظ و کاهش سفتی و دگرچسبی و حفظ و افزایش همچسبی، فریت و خاصیت جویدن خمیر خرمای رقم استعمراں شد (Mostaan et al., 2012). تیماردهی خرما با آب گرم برای تحقق رسیدگی محصول خرمای نارس برخی ارقام (نظیر حلاوی و خضراوی) و نیز به عنوان پیش‌تیمار میوه خرمای مجبول پیش از خشک کردن آن نیز بکار برده شده است (Li, et al. 2023; Reddy, et al. 2023).

امروزه امواج فراصلوت کاربرد زیادی در علوم و صنایع غذایی به عنوان فرآیندی کمکی یا پیش‌تیمار پیدا کرده است. این فناوری غیر تخریبی با هدف سرعت بخشیدن به انجام فرآیندها، حفظ کیفیت بافت و ارزش تغذیه‌ای محصول، در فرآیندهای مختلفی از جمله فیلتراسیون، انجماد، گندزدایی، خشک کردن و بازجذب آب به کار برده شده است (Bharagva et al., 2021). استفاده از این فناوری در تحقیقات مرتبط با صنعت فرآوری و نگهداری خرما نیز مورد توجه پژوهشگران واقع شده است.

در تحقیقی انتظاری و همکاران (۲۰۰۴) اثر به کارگیری امواج فراصلوت بر استخراج شیره خرما و تعداد میکرووارگانیسم‌های آن را بررسی نموده‌اند. آنها با اشاره به ناکافی بودن دمای ۵۰ درجه سلسیوس رایج در فرآیند استخراج صنعتی شیره خرما برای از بین بردن میکرووارگانیسم‌ها از یک سو و محدودیت اعمال دمای بالا به دلیل تأثیر آن بر کاهش کیفیت محصول از سوی دیگر، استفاده از امواج فراصلوت را روشنی مؤثر بر افزایش سرعت استخراج، ارتقای کیفیت محصول و به ویژه کاهش جمعیت میکروبها دانسته‌اند (Entezari et al., 2004). الیماحی و همکاران (۲۰۲۲) به استفاده از امواج فراصلوت در فرآیند استخراج مواد مغذی موجود در پودر خرما از جمله قند آن پرداخته‌اند. در این پژوهش از یک حمام فراصلوت با فرکانس ثابت ۴۵ کیلوهرتز و توان ۱۲ وات بر لیتر استفاده شد. نتایج نشان داد که اعمال امواج فراصلوت بر ماده اولیه، باعث افزایش بازده استخراج مواد قندی می‌گردد (AlYammahiet et al., 2022). عبدالکریم و همکاران (۲۰۲۲) با بکارگیری روش سطح پاسخ برای بهینه‌یابی، امواج فراصلوت را بر افزایش عمر ماندگاری خارک رقم برخی مؤثر دانسته‌اند. این تحقیق نشان داد با استفاده از امواج فراصلوت با شدت ۱۴۰ وات بر سانتیمتر مربع به مدت ۵/۲ دقیقه و نگهداری میوه تیمار شده در دمای ۲۰/۹ درجه سلسیوس می‌توان عمر ماندگاری میوه‌ها را به ۲۱ روز رساند (Abdelkarim et al., 2022). محمد و همکاران (۲۰۲۴) به بررسی اثر امواج فراصلوت بر پوشش دهی مؤثر میوه خرمای رقم هلالی در مرحله خارک با استفاده از صفحه عربی خوارکی پرداخته‌اند. در این تحقیق، سامانه‌ای برای پوشش دهی طراحی و ساخته شده و برای بهینه‌یابی شرایط پوشش دهی از روش تحلیل سطح پاسخ استفاده شده است. نتایج نشان داد که روش پوشش دهی تحت آزمایش ضمن افزایش عمر ماندگاری، تأثیر اندکی بر تغییر رنگ، کاهش وزن و رسیدگی میوه دارد (Mohammed et al., 2024).

همانگونه که پیشتر اشاره شد، عدمه تحقیقات در دسترس مرتبط با فرآیند رطوبت‌دهی با هدف اصلاح سفتی بافت میوه خرما بر خرمای دگلت نور، که جزو ارقام نیمه خشک محسوب می‌شود، تمرکز دارد. در بررسی منابع مرتبط با خرمای رقم دیری تنها یک تحقیق

یافت شد که به ویژگی‌های فیزیکی آن پرداخته است (Keramat Jahromi et al., 2008). با توجه به آنکه خرمای رقم دیری جزو ارقام خشک (و نه نیمه خشک) است، به نظر می‌رسد بررسی فرآیند رطوبت‌دهی آن در مقایسه با رقم دگلت نور ضرورت بیشتری داشته باشد. در این پژوهش به مطالعه تأثیر فرآیند رطوبت‌دهی همراه با استفاده از امواج فراصوت بر کیفیت خرمای دیری تولیدی استان خوزستان پرداخته شده است. ویژگی‌های کیفی مورد بررسی در این پژوهش شامل محتوای رطوبت، محتوای قند، ویژگی‌های بافت و رنگ است.

## مواد و روش‌ها

این پژوهش در دانشگاه شهید چمران اهواز صورت گرفت. نمونه‌های خرمای رقم دیری از نخلستان خریداری شد و سعی شد میوه‌ها به لحاظ شکل ظاهری و وزن یکنواخت باشند. پس از جداسازی میوه‌های صدمه‌دیده، میوه‌های سالم در بسته‌های ۲۵ عددی دسته بندی شدند. در این تحقیق رطوبت‌دهی و استفاده از امواج فراصوت (با فراصوت و بدون فراصوت) در پنج سطح دمایی (۴۰، ۴۰ ۵۰ و ۷۰ درجه سلسیوس) و در پنج زمان تیماردهی نمونه‌ها (۴۰، ۵۵، ۷۰، ۸۵ و ۱۰۰ دقیقه) مورد بررسی قرار گرفت. در این پژوهش پارامترهای کیفی میزان رطوبت، خصوصیات رنگی، ویژگی‌های بافت میوه و مقدار قند بررسی شده‌اند.

### رطوبت‌دهی با و بدون فراصوت

در رطوبت‌دهی توانم با فراصوت، نمونه‌های خرما پس از توزین، درون دستگاه حمام فرراصوت (مدل Parsonic 7500S) با حداکثر توان فرراصوت ۱۰۰ وات، حداکثر توان حرارتی ۳۰۰ وات و حجم مخزن شش لیتر) حاوی آب مقطور با دمای مورد نظر تحت موج فرراصوت با فرکانس ثابت ۲۸ کیلوهرتز قرار گرفتند. پس از پایان هر دوره زمانی، نمونه از دستگاه خارج شده، آب سطحی آن با استفاده از کاغذ صافی گرفته شده و پارامترهای کیفی آن اندازه‌گیری شد. این کار برای نمونه‌های تحت فرآیند رطوبت‌دهی بدون استفاده از امواج فرراصوت نیز بدون روش کردن مولد امواج فرراصوت عیناً تکرار شد. در هر بار اجرای آزمایش پنج بسته پنج عددی خرما درون حمام فرراصوت قرار داده شد. نمونه‌های هر یک از بسته‌ها برای تعیین یک گروه از صفات (رطوبت، صفات رنگی و صفات بافتی) مورد استفاده قرار گرفت.

### اندازه‌گیری رطوبت نمونه

برای اندازه‌گیری رطوبت ابتدا ظروف مخصوص توزین شدند. سپس حدود ۱۰-۱۵ گرم ( $w_w$ ) از یک نمونه حاصل از له کردن پنج عدد خرما جدا شده، در دمای ۷۰ درجه سلسیوس درون آون خلاء به مدت ۷۲ ساعت خشک شد. وزن نمونه خشک ( $w_d$ ) نیز پس از سرد شدن آن درون دسیکاتور، تعیین گردید. پس از آن، درصد رطوبت بر اساس وزن خشک با استفاده از رابطه (۱) محاسبه شد (موسوی و حجتی، ۱۳۹۰).

$$M.C. (db) = 100 \times \left( \frac{w_w - w_d}{w_d} \right) \quad (1)$$

### تحلیل رنگ

رنگ میوه با استفاده از دستگاه رنگ سنج مدل Hunter lab KONICA MINOLTA, INC تعیین شد. صفات رنگ شامل سه شاخص  $L$ ،  $a$  و  $b$  می‌باشد که  $L$  نماد روشنایی رنگ (از  $=0$  برای سیاه تا  $=100$  برای سفید)  $a$  نماد سبزی تا قرمزی رنگ ( $-60$  برای سبز و  $+60$  برای رنگ قرمز) و  $b$  نماد آبی تا زرد (از  $-60$  برای آبی و  $+60$  برای زرد) است [۱۳]. برای مقایسه رنگ معمولاً از پارامترهای روشنایی  $L$  و اختلاف کلی رنگ ( $\Delta E$ ) استفاده می‌شود که از رابطه (۲) به دست می‌آید.

$$\Delta E = \sqrt{(L - L_0)^2 + (a - a_0)^2 + (b - b_0)^2} \quad (2)$$

در رابطه فوق،  $L_0$  و  $b_0$  شاخص‌های رنگی نمونه شاهد،  $a_0$  و  $b$  شاخص رنگی نمونه‌های تیمار شده است.

### بررسی و تحلیل بافت

برای آنالیز بافت از آزمون تحلیل بافت TPA<sup>۱</sup> با استفاده از دستگاه بافت‌سنج (QTS Farnell25) استفاده شد. ابتدا هسته خرمای تحت آزمون به صورت دستی خارج شده، قطعه‌ای استوانه‌ای به ارتفاع ۱ سانتی متر از بخش میانی میوه جدا شد و با دقت روی میز دستگاه بافت‌سنج قرار گرفت. سپس پروبی با قطر ۳/۵ سانتی‌متر، نمونه را با سرعت ۵/۰ میلی‌متر بر ثانیه به مقدار کلی ۵ میلی‌متر (فسرده‌سازی ۵۰ درصد) تعییر شکل داد. به محض پایان یافتن فشرده‌سازی، پروب جهت معکوس خود را با سرعت ۵/۰ میلی‌متر بر ثانیه طی کرده،



چرخه دوم اجرا شد. در این آزمون، خواص مرتبط با بافت از جمله سفتی بافت<sup>(۱)</sup> (F)، قابلیت جویدگی<sup>(۲)</sup> (CH)، همچسبی<sup>(۳)</sup> (G) و فنریت<sup>(۴)</sup> (S) تعیین شد.

### اندازه‌گیری قند احیاء و قند کل

برای اندازه‌گیری قند کل از روش شیمیایی فهلهینگ استفاده شد. در این روش ساکارز با استفاده از اسید کلریدریک به قندهای احیاء‌کننده هیدرولیز شده، سپس یون مس دو ظرفیتی محلول‌های فهلهینگ در یک محیط قلیایی در اثر احیاء توسط قدهای احیاء‌کننده تبدیل به مس یک ظرفیتی می‌شود. در نهایت بر اساس میزان عصاره میوه (محلول قند) مصرفی جهت احیاء مس و تغییر رنگ محلول، مقدار قند احیاء از رابطه<sup>(۳)</sup> و قند کل از رابطه<sup>(۴)</sup> محاسبه می‌گردد (موسوی و حجتی، ۱۳۹۰).

$$n = \frac{F \times 100 \times 100}{V \times 25 \times 25} \times 100 \quad \text{(رابطه ۳)}$$

$$N = \frac{F \times 100 \times 100}{V \times 25 \times 25 \times 25} \times 100 \quad \text{(رابطه ۴)}$$

که در آن n و N به ترتیب قند احیاء‌کننده و قند کل بر حسب گرم بر ۱۰۰ گرم، F، فاکتور فهلهینگ و V، حجم مصرفی عصاره برای تیتراسیون بر حسب میلی‌لیتر است.

### طرح آماری و تحلیل داده‌ها

برای تجزیه و تحلیل نتایج بدست آمده و یافتن اثر متغیرهای مستقل بر متغیرهای وابسته کیفیت خرمای دیری، از روش سطح پاسخ<sup>۵</sup> (RSM) با طرح آزمایش مرکب مرکزی<sup>(۶)</sup> (CCD) استفاده شد. در تمامی مدل‌های رگرسیونی که در ادامه مطلب بیان می‌شوند، A، بیانگر دما، B، بیانگر زمان، C، بیانگر فracasot است. متغیرهای مستقل و سطوح آنها در جدول (۱) آمده است. تعداد تکرارها برای نقاط محوری، فاکتوریلی و مرکزی به ترتیب ۱، ۱ و ۵ بود که با توجه به تعداد سطوح متغیرهای مستقل به ۲۶ آزمایش (اجرا) منجر شد.

جدول ۱. متغیرهای مستقل و سطوح آنها در طرح مرکب مرکزی

| -α            | -۱ | +           | +۱ | +α           | فاکتور                |
|---------------|----|-------------|----|--------------|-----------------------|
| ۳۰            | ۴۰ | ۵۰          | ۶۰ | ۷۰           | دما (A) (درجه سلسیوس) |
| ۴۰            | ۵۵ | ۷۰          | ۸۵ | ۱۰۰          | زمان (B) (دقیقه)      |
| بدون فracasot |    | با فracasot |    | فracasot (C) |                       |

### نتایج و بحث

#### درصد رطوبت محصول تیمار شده

مدل رگرسیونی بین متغیرهای مستقل (دما، زمان و فracasot (با و بدون)) و متغیر وابسته درصد رطوبت به صورت معادله درجه چهارم (رابطه ۵) برای تیمارهای با و بدون فracasot با  $R^2 = ۰/۹۹۷۸$  بدست آمد. جدول (۲) نشان می‌دهد که مدل پیشنهادی در پیش‌بینی روند درصد رطوبت بر حسب وزن خشک با متغیرهای مستقل انتخابی در سطح ۱ درصد معنی‌دار است.

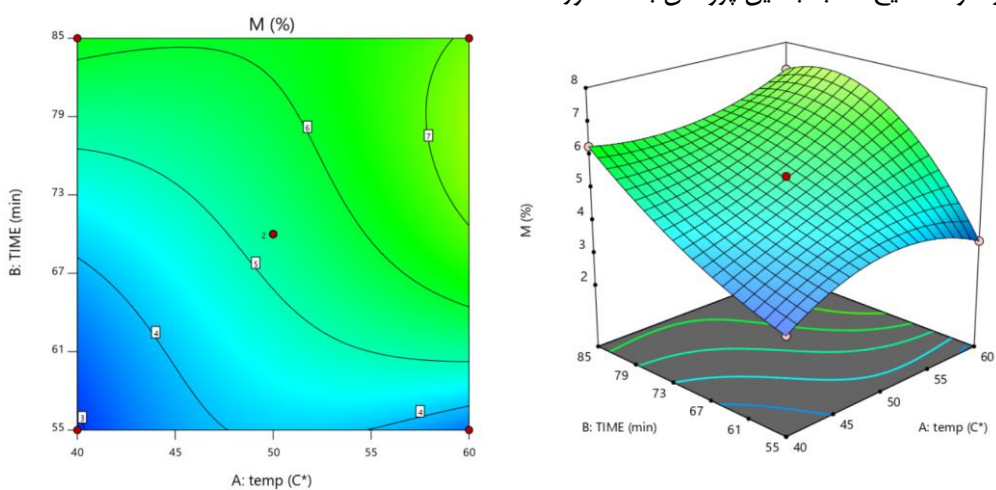
$$\begin{aligned} M.C.(\%) = & +5/58 + 1/44 A + 1/4 B - 0/2824 C + 0/0578 AB - 0/074 AC - 0/173 BC + 0/2769 A^2 - 0/2021 \\ & B^2 + 0/038 ABC + 0/7593 A^2 B - 0/198 A^2 C - 1/03 AB^2 + 0/0304 B^2 C - 0/4648 A^2 B^2 - 0/106 A^2 BC - 0/0075 AB^2 C \end{aligned} \quad \text{(رابطه ۵)}$$

1. Firmness
2. Chewability
3. Gumminess
4. Springiness
5. Response Surface Method
6. Central Composite Design
1. Moisture Content

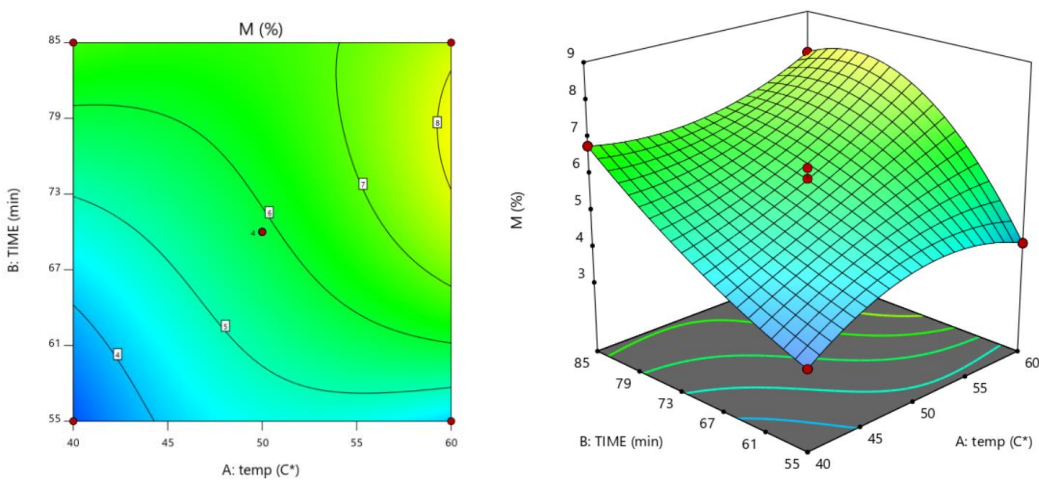
جدول ۲. تحلیل واریانس مدل رگرسیونی برای محتوای رطوبت، مقدار قند احیاء و قند کل

| منبع تغییرات                  | محتوای رطوبت |                |          |            | قند احیاء      |         |            |                | قند کل |            |                |       |
|-------------------------------|--------------|----------------|----------|------------|----------------|---------|------------|----------------|--------|------------|----------------|-------|
|                               | درجه آزادی   | میانگین مربعات | مقدار    | درجه آزادی | میانگین مربعات | مقدار   | درجه آزادی | میانگین مربعات | مقدار  | درجه آزادی | میانگین مربعات | مقدار |
| مدل                           | ۱۶           | ۰/۵۲۸/۵۱       | < ۰/۰۰۰۱ | ۱۶         | ۰/۴۳۳۴         | ۰/۰۴۹۴  | ۱۶         | ۰/۰۰۰۱         | ۰/۰۲۷۲ |            |                |       |
| (دما)A                        | ۱            | ۳۳/۰۹          | < ۰/۰۰۰۱ | ۱          | ۰/۰۹۶          | ۰/۴۱۹۴  | ۱          | ۴/۲۹۸E-۰۶      | ۰/۰۵۰۸ |            |                |       |
| (زمان)B                       | ۱            | ۱۷/۳           | < ۰/۰۰۰۱ | ۱          | ۰/۲۰۵۳         | ۰/۲۳۷۷  | ۱          | ۰/۰۰۰۲         | ۰/۰۰۴۰ |            |                |       |
| (فراصوت)C                     | ۱            | ۵۵             | ۰/۰۱۳۱   | ۱          | ۳/۵۱           | ۰/۰۰۱۱  | ۱          | ۰/۰۰۰۰         | ۰/۰۲۰۳ |            |                |       |
| AB                            | ۱            | ۰/۰۲۶۷         | ۰/۴۴۶    | ۱          | ۰/۵۳۲۷         | ۰/۰۷۶۱  | ۱          | ۰/۰۰۰۰         | ۰/۷۷۵۶ |            |                |       |
| AC                            | ۱            | ۰/۰۸۷۶         | ۰/۱۹۴۷   | ۱          | ۰/۰۰۸۴         | ۰/۸۰۱۶  | ۱          | ۰/۰۰۰۰         | ۰/۰۷۲۲ |            |                |       |
| BC                            | ۱            | ۰/۰۰۴۸         | ۰/۷۴     | ۱          | ۰/۲۰۵۳         | ۰/۲۳۷۷  | ۱          | ۶/۴۷۰E-۰۸      | ۰/۹۳۳۹ |            |                |       |
| A <sup>2</sup>                | ۱            | ۲/۸۴           | ۰/۰۰۰۴   | ۱          | ۱              | ۰/۰۲۴۶  | ۱          | ۰/۰۰۰۰         | ۰/۲۵۴۹ |            |                |       |
| B <sup>2</sup>                | ۱            | ۱/۵۱           | ۰/۰۰۱۶   | ۱          | ۰/۰۷۳۳         | ۰/۴۶۵۸  | ۱          | ۰/۰۰۰۰         | ۰/۱۳۶۰ |            |                |       |
| ABC                           | ۱            | ۰/۰۱۱۵         | ۰/۶۱۰۳   | ۱          | ۰/۱۱۸۲         | ۰/۰۳۶   | ۱          | ۶/۳۱۹E-۰۶      | ۰/۴۲۷۹ |            |                |       |
| A <sup>2</sup> B              | ۱            | ۳/۰۷           | ۰/۰۰۰۳   | ۱          | ۰/۰۵۷۶         | ۰/۵۱۶۱  | ۱          | ۵/۴۴۸E-۰۶      | ۰/۴۵۹۷ |            |                |       |
| A <sup>2</sup> C              | ۱            | ۰/۰۱۴۶         | ۰/۵۶۸۴   | ۱          | ۲/۴۴           | ۰/۰۰۳   | ۱          | ۰/۰۰۰۲         | ۰/۰۰۴۴ |            |                |       |
| AB <sup>2</sup>               | ۱            | ۵/۶۲           | < ۰/۰۰۰۱ | ۱          | ۰/۰۰۰۲         | ۰/۹۰۰۳۲ | ۱          | ۳/۰۱۲E-۰۶      | ۰/۵۷۷۶ |            |                |       |
| B <sup>2</sup> C              | ۱            | ۰/۰۳۴۱         | ۰/۳۹۳۲   | ۱          | ۲/۰۵           | ۰/۰۰۴۷  | ۱          | ۰/۰۰۰۰         | ۰/۲۲۶۶ |            |                |       |
| A <sup>2</sup> B <sup>2</sup> | ۱            | ۱/۰۷           | ۰/۰۰۳۴   | ۱          | ۰/۲۴۰۹         | ۰/۲۰۴۷  | ۱          | ۰/۰۰۰۱         | ۰/۰۳۷۰ |            |                |       |
| A <sup>2</sup> BC             | ۱            | ۰/۰۰۰۶         | ۰/۹۰۶۴   | ۱          | ۰/۷۳۵۳         | ۰/۰۴۴۵  | ۱          | ۰/۰۰۰۱         | ۰/۰۲۲۴ |            |                |       |
| AB <sup>2</sup> C             | ۱            | ۰/۰۰۰۳         | ۰/۹۳۳۲   | ۱          | ۰/۰۲۲۵         | ۰/۶۸۱۸  | ۱          | ۰/۰۰۰۰         | ۰/۲۸۳۲ |            |                |       |
| باقیمانده                     | ۵            | ۰/۰۳۹۱         |          | ۷          | ۰/۱۲۳۲         |         | ۵          | ۸/۴۹۸E-۰۶      |        |            |                |       |
| عدم تطبیق                     | ۱            | ۰/۰۰۰          | ۰/۹۸۷۵   | ۱          | ۰/۰۹۷۶         | ۰/۴۱۵۲  | ۱          | ۶/۷۴۱E-۰۶      | ۰/۴۳۴۱ |            |                |       |
| خطا                           | ۴            | ۰/۰۴۸۸         |          | ۶          | ۰/۱۲۷۴         |         | ۴          | ۸/۹۳۷E-۰۶      |        |            |                |       |
| کل                            | ۲۱           |                | ۲۳       |            |                |         | ۲۱         |                |        |            |                |       |

شکل (۱) و (۲) نیز سطح پاسخ و خطوط تراز درصد رطوبت به ازای تغییر زمان و دما و متغیر کیفی فراصوت (با و بدون) نشان می‌دهد. همانگونه که مشاهده می‌شود، درصد رطوبت با افزایش دما ابتدا افزایش و سپس روند کاهشی پیدا می‌کند و با افزایش زمان، درصد رطوبت افزایش می‌یابد. همچنین با افزایش همزمان دما و زمان در هر دو شکل، درصد رطوبت نمونه‌ها افزایش می‌یابد. همچنین مقایسه دو شکل (۱) و (۲) در دما و زمان ثابت نشان می‌دهد، اعمال امواج فراصوت (۵/۶۱ درصد) بر درصد رطوبت محصول نسبت به متغیر بدون فراصوت (۵/۲۲ درصد) ۷/۴۷ درصد تأثیر بیشتری دارد. بوبکری و همکاران (۲۰۱۰) نیز نتیجه مشابهی گرفتند. اشرافی و همکاران (۱۳۹۰) نیز با بررسی اثر پیش تیمار فراصوت روی خشک شدن ورقه‌های کیوی در سه سطح زمانی ۲۰، ۱۰ و ۳۰ دقیقه در دمای محیط در حمام فراصوت، نتایج مشابه به این پژوهش بدست آورند.



شکل ۱. سطح پاسخ و خطوط تراز درصد رطوبت به ازای تغییرات زمان و دما بدون اعمال فراصوت



شکل ۲. سطح پاسخ و خطوط تراز درصد رطوبت به ازای تغییرات زمان و دما با اعمال فراصوت

### محتوای قند محصول تیمار شده

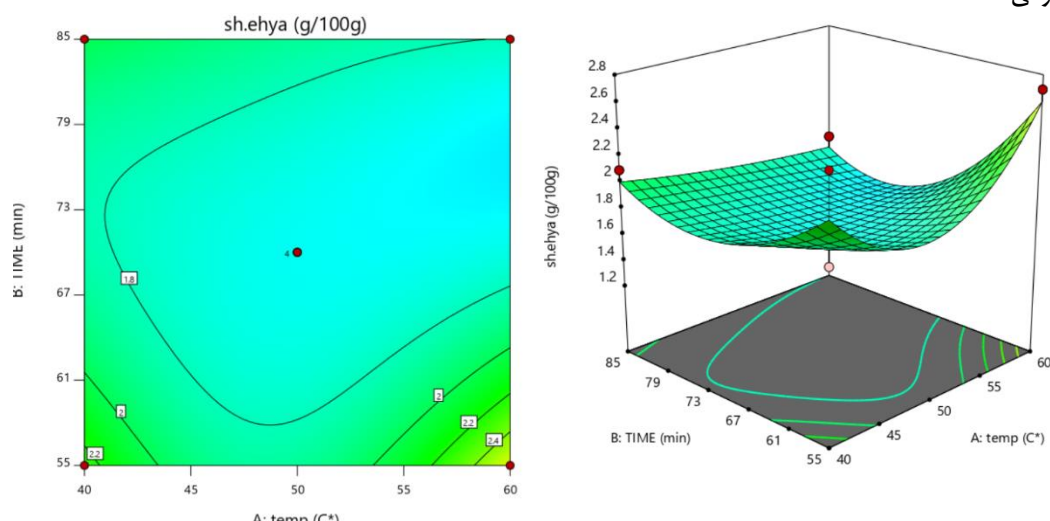
#### قند احیاء

در تعیین مقدار قند احیاء نیز مدل رگرسیونی بین متغیرهای مستقل (دما، زمان و فراصوت (با و بدون)) و متغیر وابسته مقدار قند احیاء<sup>(۱)</sup> به صورت معادله درجه چهارمی (رابطه ۶) با  $R^2=0.892$  بدست آمد. با استفاده از مدل رگرسیونی می‌توان مقدار قند احیاء را تحت شرایط مختلف پیش‌بینی نمود. جدول (۲) نشان می‌دهد که مدل پیشنهادی در پیش‌بینی مقدار قند احیاء با متغیرهای مستقل انتخابی در سطح ۵ درصد معنی‌دار است.

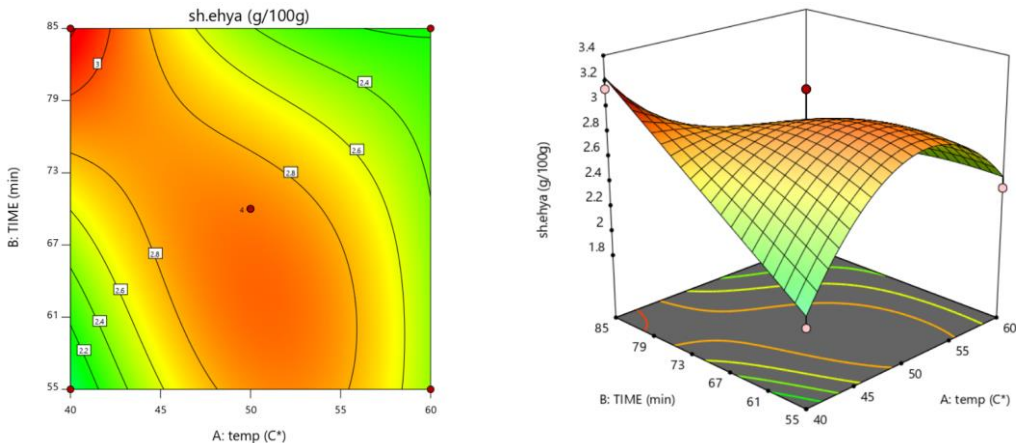
$$RS = +2300/0.75A - 0/113B - 0/804C - 0/258AB + 0/022AC + 0/113BC - 0/153A^2 - 0/0414B^2 + 0/121 \quad (رابطه ۶)$$

$$ABC + 0/103A^2B + 0/239A^2C + 0/19AB^2 + 0/219B^2C + 0/212A^2B^2 - 0/371A^2BC + 0/065AB^2C$$

شکل (۳) و (۴) سطح پاسخ و خطوط تراز را برای قند احیاء به ازای تغییر زمان و دما و متغیر کیفی فراصوت (با و بدون) نشان می‌دهد. مقایسه این دو شکل در دما و زمان ثابت نشان می‌دهد، که اعمال فراصوت (۳/۱۴ درصد) نسبت به متغیر بدون فراصوت (۱/۳۴)، ۱/۳۴ برابر تأثیر بیشتری بر مقدار قند احیاء محصول دارد. علت افزایش قند احیاء، تبدیل ساکارز به گلوکز و فروکتوز و افزایش میزان گلوکز و فروکتوز است. در تحقیق بوبکری و همکاران (۲۰۱۰) میزان تغییرات قند بدون اعمال فراصوت تقریباً ثابت بود که با نتایج این پژوهش همخوانی نداشت.



شکل ۳. سطح پاسخ و خطوط تراز قند احیاء به ازای تغییرات زمان و دما بدون اعمال فراصوت



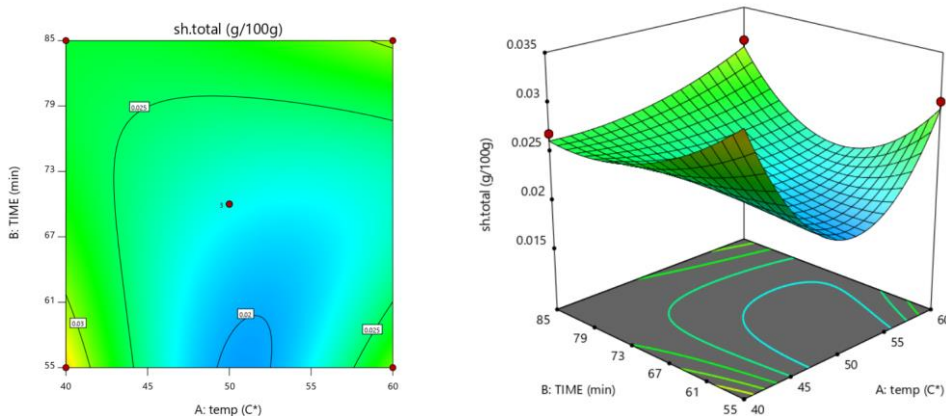
شکل ۴. سطح پاسخ و خطوط تراز قند احیاء به ازای تغییرات زمان و دما با اعمال فراصوت

**قند کل**

در رابطه ۷ معادله درجه چهارم مدل رگرسیونی بین متغیرهای مستقل (دما، زمان و فراصوت (با و بدون)) و متغیر وابسته (مقدار قند کل<sup>۱</sup> (TS)) با  $R^2=0.9517$  بدست آمد. در جدول (۲)، تحلیل واریانس مدل رگرسیونی درجه چهارم برای مقدار قند کل نمونه پس از تیماردهی آورده شده است. طبق این جدول، اثر متغیرهای مستقل دما و فراصوت (با و بدون) بر مقدار قند کل معنی دار نیست اما اثر زمان در سطح ۱ درصد معنی دار است.

$$\begin{aligned} \text{TS} = & +0.23 - 0.0005A + 0.0037B - 0.0015C + 0.0013AB - 0.001YAC - \\ & - 0.0001BC + 0.0006A^2 + 0.0008B^2 + 0.0009ABC - \\ & - 0.001A^2B + 0.0023A^2C + 0.0008AB^2 + 0.0005B^2C + 0.0037A^2B^2 - 0.0041A^2BC + 0.0015AB^2C \end{aligned} \quad (\text{رابطه } 7)$$

همان گونه که در شکل (۵) مشاهده می شود، با افزایش زمان، مقدار قند کل به مقدار بسیار کمی کاهش می یابد. در بررسی بوبکری و همکاران (۲۰۱۰) میزان تغییر قند کل ناچیز گزارش شده است.



شکل ۵. سطح پاسخ و خطوط تراز مقدار قند کل به ازای تغییرات زمان و دما بدون اعمال فراصوت

**شاخص‌های رنگی محصول رطوبت داده شده****شاخص رنگی L**

در معادله درجه چهارم (رابطه ۸)، مدل رگرسیونی بین متغیرهای مستقل (دما، زمان و فراصوت (با و بدون)) و متغیر وابسته مقدار شاخص رنگی L با  $R^2=0.9733$  بیان شد.

$$L = +30/244 - 1/22A - 0/796 B + 0/055 C - 1/31 AB - 0/267 AC + 0/751 BC + 0/229 A^2 + 0/132 B^2 - \quad (\text{رابطه } 8) \\ 1/05ABC + 0/96 A^2B + 0/072 A^2C + 0/967 AB^2 - 0/834 B^2C + 0/961 A^2B^2 - 3/773 A^2BC - 1/38 AB^2C$$

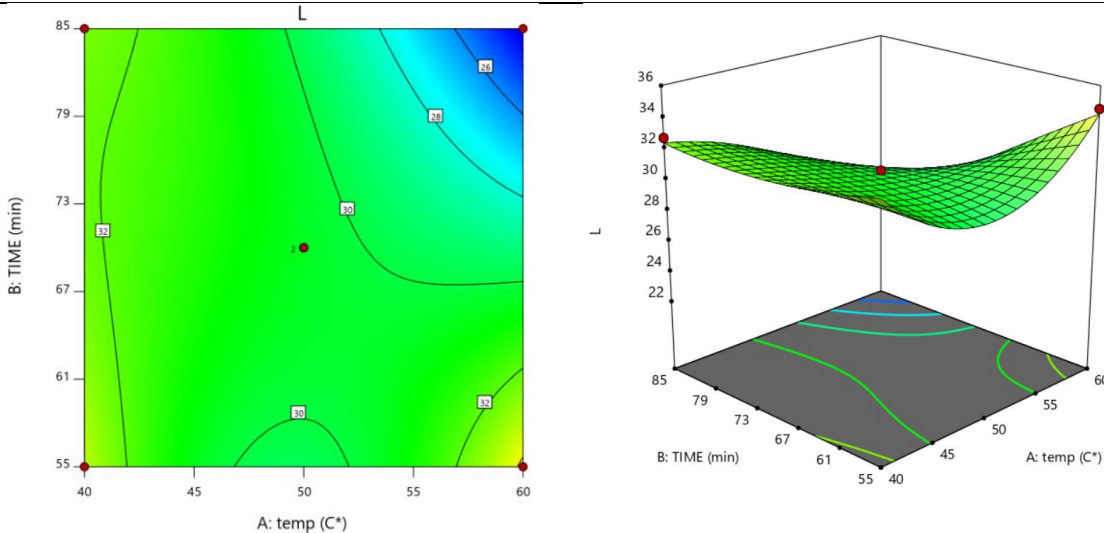
همچنین در جدول (۳)، تحلیل واریانس مدل رگرسیونی درجه چهارم برای مقدار شاخص رنگی L نمونه پس از تیماردهی آورده شده

است. این جدول نشان می‌دهد که اثر متغیر مستقل فراصوت (با و بدون) بر مقدار شاخص رنگی  $L^*$  معنی‌دار نیست اما اثر دما و زمان در به ترتیب در سطح ۱ درصد و ۵ درصد معنی‌دار است.

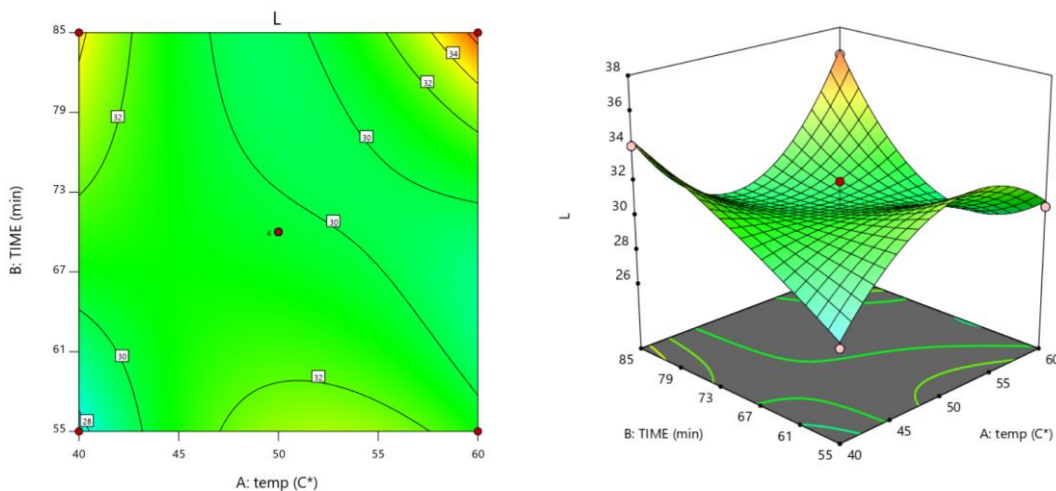
طبق شکل (۶)، با افزایش دما، مقدار شاخص رنگی  $L^*$  ابتدا کاهش و پس از نقطه میانی افزایش می‌یابد و با افزایش زمان مقدار آن روند کاهشی دارد. همچنین شکل نشان می‌دهد که افزایش همزمان دما و زمان غوطه وری محصول باعث کاهش شاخص رنگی  $L^*$  شده است. در شکل (۷) با اعمال فراصوت نتیجه عکس حالت قبل است و با افزایش دما مقدار شاخص رنگی  $L^*$  ابتدا افزایش و سپس کاهش پیدا می‌کند و افزایش همزمان دما و زمان غوطه وری محصول باعث افزایش شاخص رنگی  $L^*$  شده است و با افزایش زمان مقدار آن کاهش می‌یابد. افزایش مقدار  $L^*$  نشان‌دهنده روشن‌تر شدن رنگ محصول که براساس نتایج اعمال امواج فراصوت باعث روشن‌تر شدن رنگ محصول شده است.

جدول ۳. تحلیل واریانس مدل رگرسیونی برای شاخص رنگی  $L^*$

| منبع تغییرات | L          |                |         | a          |                |         | b          |                |         | $\Delta E$ |                |         |
|--------------|------------|----------------|---------|------------|----------------|---------|------------|----------------|---------|------------|----------------|---------|
|              | درجه آزادی | میانگین مربعات | مقدار P | درجه آزادی | میانگین مربعات | مقدار P | درجه آزادی | میانگین مربعات | مقدار P | درجه آزادی | میانگین مربعات | مقدار P |
| مدل          | ۱۶         | ۱۳/۳۹          | ۰/۰۰۶۹  | ۱۶         | ۴/۶۲           | ۰/۱۶۴۸  | ۱۶         | ۷/۵۲           | ۰/۲۱۱۷  | ۱۶         | ۱۹/۸۳          | ۰/۰۴۹۶  |
| (دما) A      | ۱          | ۲۳/۸۱          | ۰/۰۰۶۴  | ۱          | ۱/۰۴           | ۰/۴۴۰۸  | ۱          | ۷/۲۸           | ۰/۱۸۳۳  | ۱          | ۲۷/۰۹          | ۰/۰۶۹۶  |
| (زمان) B     | ۱          | ۱۰/۱۴          | ۰/۰۳۲۳  | ۱          | ۱/۰۹           | ۰/۴۳۰۹  | ۱          | ۴/۵۳           | ۰/۲۵۵۱  | ۱          | ۱۴/۸۳          | ۰/۱۵۹۹  |
| (فراصوت) C   | ۱          | ۰/۰۲۱۲         | ۰/۸۹۸۴  | ۱          | ۰/۲۹۶۸         | ۰/۶۶۷۶  | ۱          | ۱/۰۹           | ۰/۵۱۹۸  | ۱          | ۳/۴۹           | ۰/۴۷۴   |
| AB           | ۱          | ۱۳/۶۸          | ۰/۰۱۹   | ۱          | ۱/۴۲           | ۰/۳۷۶۴  | ۱          | ۳۸/۴۸          | ۰/۰۴۴۱  | ۱          | ۵۷/۴۷          | ۰/۰۱۵۸  |
| AC           | ۱          | ۱/۱۴           | ۰/۳۶۹   | ۱          | ۰/۳۲۲۱         | ۰/۶۵۵۱  | ۱          | ۰/۱۳۸۸         | ۰/۰۸۰۲  | ۱          | ۰/۲۴۰۷         | ۰/۸۴۸۴  |
| BC           | ۱          | ۶/۰۳           | ۰/۰۳۹۳  | ۱          | ۰/۲۷۳۰         | ۰/۶۸۰۰  | ۱          | ۴/۱۱           | ۰/۲۷۱۳  | ۱          | ۱۳/۰۳          | ۰/۱۸۴۵  |
| $A^2$        | ۱          | ۱/۹۵           | ۰/۲۵۴۶  | ۱          | ۳/۸۳           | ۰/۱۸۶۹  | ۱          | ۶/۰۶           | ۰/۰۲۰۳  | ۱          | ۱۲/۵۴          | ۰/۱۹۲۱  |
| $B^2$        | ۱          | ۰/۶۴۹          | ۰/۴۹۰۹  | ۱          | ۰/۴۸۶۹         | ۰/۵۸۶۳  | ۱          | ۱۶/۵۰          | ۰/۰۹۴۷  | ۱          | ۱۹/۴           | ۰/۱۱۴۳  |
| ABC          | ۱          | ۸/۷۴           | ۰/۰۴۱۵  | ۱          | ۰/۸۲۲۴         | ۰/۴۸۷۴  | ۱          | ۰/۵۱۷۷         | ۰/۶۴۶۸  | ۱          | ۷/۸۵           | ۰/۲۹۲۳  |
| $A^2B$       | ۱          | ۴/۹۲           | ۰/۰۹۶۳  | ۱          | ۰/۰۰۰۴         | ۰/۹۸۷۱  | ۱          | ۱/۸۵           | ۰/۰۱۹۲  | ۱          | ۶/۰۲           | ۰/۳۵۲۴  |
| $A^2C$       | ۱          | ۰/۱۹۴۲         | ۰/۷۰۱۲  | ۱          | ۲/۷۹           | ۰/۲۴۱۹  | ۱          | ۰/۸۲۸۱         | ۰/۵۶۹۱  | ۱          | ۱/۷۲           | ۰/۶۱۲۵  |
| $AB^2$       | ۱          | ۴/۹۹           | ۰/۰۹۴۳  | ۱          | ۱/۳            | ۰/۴۴۲۶  | ۱          | ۷/۸۱           | ۰/۱۷۳۸  | ۱          | ۸/۶            | ۰/۱۷۲   |
| $B^2C$       | ۱          | ۲۵/۷۴          | ۰/۰۰۵۴  | ۱          | ۰/۳۰۹۱         | ۰/۶۶۱۴  | ۱          | ۱۲/۰۲          | ۰/۱۲۳۷  | ۱          | ۲۴/۴۸          | ۰/۰۸۱۷  |
| $A^2B^2$     | ۱          | ۴/۵۸           | ۰/۱۰۵۳  | ۱          | ۱/۷۶           | ۰/۳۳۱۵  | ۱          | ۲/۴۹           | ۰/۳۶۲۴  | ۱          | ۵/۰۴           | ۰/۳۹۲۷  |
| $A^2BC$      | ۱          | ۷۶/۳           | ۰/۰۰۰۵  | ۱          | ۱۴/۰۲          | ۰/۰۴۷۱  | ۱          | ۱۰/۸۵          | ۰/۱۳۴۴  | ۱          | ۷۱/۱۰          | ۰/۰۰۹۵  |
| $AB^2C$      | ۱          | ۱۰/۲۳          | ۰/۰۳۱۹  | ۱          | ۲۴/۰۶          | ۰/۰۲۳۶  | ۱          | ۱۵/۹۹          | ۰/۰۹۷۳  | ۱          | ۲۶/۱۲          | ۰/۰۷۳۸  |
| باقیمانده    | ۵          | ۱/۱۸           |         | ۳          | ۱/۲۲           |         | ۲          | ۱/۸۲           |         | ۸          | ۴۹/۴۲          |         |
| عدم تطبیق    | ۱          | ۱/۴۲           | ۰/۳۲۲۳  | ۱          | ۳/۰۳           | ۰/۱۲۴۱  | ۱          | ۳/۵۷           | ۰/۰۸۱۷  | ۱          | ۹/۶۶           | ۰/۲۳۳۴  |
| خطا          | ۴          | ۱/۱۱           |         | ۲          | ۰/۴۶۰۶         |         | ۱          | ۰/۰۵۹۵         |         | ۷          | ۵/۶۸           |         |
| کل           | ۲۱         |                | ۱۹      |            |                |         | ۱۸         |                |         | ۲۴         |                |         |



شکل ۶. سطح پاسخ و خطوط تراز مقدار شاخص رنگی  $L^*$  به ازای تغییرات زمان و دما بدون اعمال فراصوت



شکل ۷. سطح پاسخ و خطوط تراز مقدار شاخص رنگی L به ازای تغییرات زمان و دما با اعمال فرآصنوت

#### شاخص تغییر رنگ کلی $\Delta E$

معادله درجه چهارم (رابطه ۹)، مدل رگرسیونی بین متغیرهای مستقل (دما، زمان و فرآصنوت (با و بدون)) و متغیر وابسته شاخص تغییر رنگ کلی  $\Delta E$  را نشان می‌دهد که در آن  $R^2 = 0.8652$  بدست آمد.

$$\Delta E = +12/46 + 1/3A + 0/962B + 0/576C + 2/68AB + 0/122AC - 0/902BC - 0/532A^2 - 0/662B^2 + 0/99ABC - 1/0.6A^2B - 0/197A^2C - 27/1AB^2 + 0/744B^2C - 0/964A^2B^2 + 3/65A^2BC + 2/21AB^2C \quad (9)$$

جدول (۳)، تحلیل واریانس مدل رگرسیونی درجه چهارم برای شاخص تغییر رنگ کلی  $\Delta E$  نمونه پس از تیمار دهی آورده را نشان می‌دهد. این مدل پیشنهادی پیش‌بینی روند شاخص رنگی  $\Delta E$  با متغیرهای مستقل انتخابی در سطح ۰/۰۵ معنی‌دار بود اما اثر هر یک از سه متغیر مستقل دما، زمان و فرآصنوت بر متغیر وابسته غیر معنی‌دار بود. اثر متغیرهای مستقل بر شاخص‌های رنگی a و b نیز در سطح ۰/۰۵ غیر معنی‌دار بود (جدول ۳).

#### بررسی و تحلیل بافت

#### سفرتی بافت

برای تعیین سفترتی بافت، مدل رگرسیونی بین متغیرهای مستقل (دما، زمان و فرآصنوت (با و بدون)) و متغیر وابسته سفترتی بافت (F) به صورت معادله درجه چهارم (رابطه ۱۰) با  $R^2 = 0.9725$  بدست آمد.

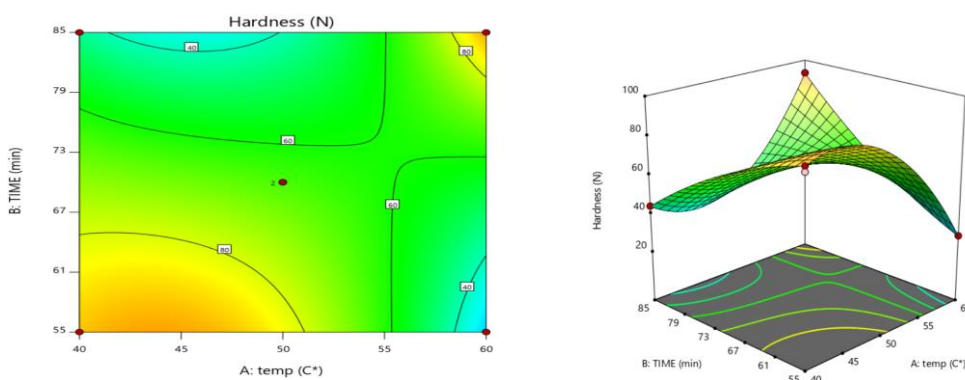
$$F(N) = 65/52 - 10/12A - 13/3B + 0/2C + 19/37AB + 0/952AC - 8/28BC + 1/61A^2 - 5/78B^2 + 8/25ABC + 9/94A^2B - 3/8A^2C + 11/62AB^2 + 2/0.5B^2C + 3/84A^2B^2 + 16/36A^2BC - 5/62AB^2C \quad (10)$$

تحلیل واریانس مدل رگرسیونی برای سفترتی بافت نمونه پس از تیمار دهی در جدول (۴) آورده شده است. این جدول نشان می‌دهد که مدل پیشنهادی در پیش‌بینی روند کلی سفترتی بافت با متغیرهای مستقل دما و زمان در سطح ۵ درصد معنی‌دار می‌باشد اما اثر امواج فرآصنوت بر سفترتی معنی‌دار نیست.

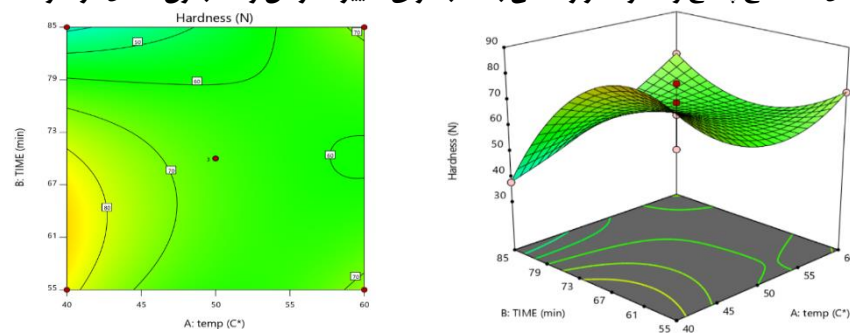
طبق شکل‌های (۸) و (۹) با افزایش دما میزان سفترتی بافت ابتدا افزایشی و سپس کاهش پیدا می‌کند و با افزایش زمان مقدار سفترتی بافت کاهش می‌یابد. با افزایش همزمان دما و زمان ابتدا مقدار سفترتی کاهش یافته، سپس شروع به افزایش می‌کند. کاهش یافتن شیب نمودار در بازه‌ای از دما و زمان ناشی از افزایش فعالیت‌های آنزیمی و نرمتر شدن بافت خرما است. آنزیم اینورتاز که مسئول تبدیل ساکارز به قند گلوكز و فروکتوز است با عملکرد خود تغییر بافت و نرمی بافت نیز افزایش می‌یابد. همچنین افزایش دما باعث حرکت آب بین سلول‌های خرما شده و در نتیجه تأثیر آنزیم‌های مؤثر در نرمی بافت نیز بیشتر می‌شود. نتایج بدست آمده در پژوهش مستغان و همکاران (۲۰۱۲) در مورد خمیر خرما مؤید نتیجه بدست آمده است.

جدول ۴. تحلیل واریانس مدل رگرسیونی برای سفتی بافت، قابلیت جویدگی، همچسبی و فنریت

| منبع تغییرات                  | softness   |                |         |            |                |         | قابلیت جویدگی |                |         |            |                |         | همچسبی     |                |   |            |                |   | فنریت |  |  |  |  |  |
|-------------------------------|------------|----------------|---------|------------|----------------|---------|---------------|----------------|---------|------------|----------------|---------|------------|----------------|---|------------|----------------|---|-------|--|--|--|--|--|
|                               | درجه آزادی | میانگین مربعات | P       | درجه آزادی | میانگین مربعات | P       | درجه آزادی    | میانگین مربعات | P       | درجه آزادی | میانگین مربعات | P       | درجه آزادی | میانگین مربعات | P | درجه آزادی | میانگین مربعات | P |       |  |  |  |  |  |
| مدل                           | ۱۶         | ۸۲۵/۴۷         | .۰/۰۲۴۰ | ۱۳         | ۲۲۶/۶۶         | .۰/۰۴۰۱ | ۱۶            | ۳۳/۹۷          | .۰/۰۴۳۹ | ۱۶         | .۰/۰۸۱۹        | .۰/۰۱۶۴ |            |                |   |            |                |   |       |  |  |  |  |  |
| (دما)A                        | ۱          | ۱۶۳۸/۶۶        | .۰/۰۱۳۸ | ۱          | ۵۳۷/۰۷         | .۰/۰۱۹۲ | ۱             | ۹۳/۲۲          | .۰/۰۱۴۴ | ۱          | .۰/۰۳۸         | .۰/۴۱۹۱ |            |                |   |            |                |   |       |  |  |  |  |  |
| (زمان)B                       | ۱          | ۲۸۳۱/۹۹        | .۰/۰۰۵۳ | ۱          | ۴۲۷/۲۷         | .۰/۰۳۰۶ | ۱             | ۹۰/۷۲          | .۰/۰۱۵  | ۱          | .۰/۲۰۷         | .۰/۰۰۶۱ |            |                |   |            |                |   |       |  |  |  |  |  |
| (فراصوت)C                     | ۱          | .۰/۲۵۶۰        | .۰/۹۶۰۸ | ۱          | ۵۶/۸۲          | .۰/۳۵۷۴ | ۱             | ۲/۵۵           | .۰/۴۵۹۵ | ۱          | .۰/۰۰۲۶        | .۰/۴۹۲۳ |            |                |   |            |                |   |       |  |  |  |  |  |
| AB                            | ۱          | ۳۰۰/۲/۷۵       | .۰/۰۰۴۸ | ۱          | ۷۹۶/۱۷         | .۰/۰۰۷۸ | ۱             | ۱۶۹/۶۳         | .۰/۰۰۶۲ | ۱          | .۰/۰۰۳۹        | .۰/۴۱۲۹ |            |                |   |            |                |   |       |  |  |  |  |  |
| AC                            | ۱          | ۱۴/۰۲          | .۰/۷۱۳۶ | ۱          | ۲۴۶/۵۷         | .۰/۰۷۹۳ | ۱             | ۳/۴۹           | .۰/۳۹۴۷ | ۱          | .۰/۳۶۴۵        | .۰/۰۰۲۷ |            |                |   |            |                |   |       |  |  |  |  |  |
| BC                            | ۱          | ۱۰/۹۵/۷۸       | .۰/۰۲۶۷ | ۱          | ۶/۶۳           | .۰/۷۴۶۴ | ۱             | ۴/۶۲           | .۰/۳۳۷۱ | ۱          | .۰/۰۰۹۵        | .۰/۲۳۳۷ |            |                |   |            |                |   |       |  |  |  |  |  |
| A <sup>2</sup>                | ۱          | ۹۰/۹۴          | .۰/۳۷۹۸ | ۱          | ۵۷/۳۳          | .۰/۲۹۴  | ۱             | ۷/۶۹           | .۰/۲۳۷۶ | ۱          | .۰/۰۰۸۹        | .۰/۲۴۶۸ |            |                |   |            |                |   |       |  |  |  |  |  |
| B <sup>2</sup>                | ۱          | ۱۱۷۰/۰۲        | .۰/۰۰۴۰ | ۱          | ۲۰۵/۱۶         | .۰/۱۰۳۴ | ۱             | ۳۵/۷           | .۰/۰۵۰۵ | ۱          | .۰/۰۲۶۲        | .۰/۹    |            |                |   |            |                |   |       |  |  |  |  |  |
| ABC                           | ۱          | ۵۴۴/۵۹         | .۰/۰۷۳۲ | ۱          | ۲۰۰/۸۵         | .۰/۱۰۶۵ | ۱             | ۲۲             | .۰/۰۸۷  | ۱          | .۰/۰۱۸۶        | .۰/۱۲۸۹ |            |                |   |            |                |   |       |  |  |  |  |  |
| A <sup>2</sup> B              | ۱          | ۵۲۷/۰۹         | .۰/۰۷۶۴ | ۱          | ۵۴/۰۸          | .۰/۲۶۸۶ | ۱             | ۳۱/۲۷          | .۰/۰۵۹۳ | ۱          | .۰/۰۵۷۸۲       | .۰/۰۰۱۴ |            |                |   |            |                |   |       |  |  |  |  |  |
| A <sup>2</sup> C              | ۱          | ۵۱۲/۵۴         | .۰/۰۷۹۲ | ۱          | ۱۹۵/۸۳         | .۰/۱۱۰۲ | ۱             | ۹/۰۱           | .۰/۲۰۹۷ | ۱          | .۰/۰۱۱۴        | .۰/۲۰۱۸ |            |                |   |            |                |   |       |  |  |  |  |  |
| AB <sup>2</sup>               | ۱          | ۷۲۰/۶۴         | .۰/۰۵۰۰ | ۱          | ۱۱۵/۳۸         | .۰/۲۰۳۲ | ۱             | ۳۵/۷۶          | .۰/۰۵۰۴ | ۱          | .۰/۰۰۱۸        | .۰/۵۶۴۴ |            |                |   |            |                |   |       |  |  |  |  |  |
| B <sup>2</sup> C              | ۱          | ۱۴۹/۵۷         | .۰/۲۷۴۵ | ۱          | ۹/۵۳           | .۰/۶۹۸۷ | ۱             | ۴/۶۵           | .۰/۲۲۲۵ | ۱          | .۰/۰۶۱۲        | .۰/۰۳۲۶ |            |                |   |            |                |   |       |  |  |  |  |  |
| A <sup>2</sup> B <sup>2</sup> | ۱          | ۷۰/۹۰          | .۰/۴۳۴۹ |            |                |         |               | ۱              | ۸/۹۸    | .۰/۲۱۰۳    | ۱              | .۰/۰۶۹۶ | .۰/۰۲۷۶    |                |   |            |                |   |       |  |  |  |  |  |
| A <sup>2</sup> BC             | ۱          | ۱۴۲۷/۸۲        | .۰/۰۱۷۴ |            |                |         |               | ۱              | ۸/۳۹    | .۰/۲۲۲     | ۱              | .۰/۰۳۷۳ | .۰/۰۶۰۶    |                |   |            |                |   |       |  |  |  |  |  |
| AB <sup>2</sup> C             | ۱          | ۱۶۸/۴۹         | .۰/۲۵۰۵ |            |                |         |               | ۱              | ۷/۹۷    | .۰/۲۳۱۲    | ۱              | .۰/۱۹۶۸ | .۰/۰۰۶۶    |                |   |            |                |   |       |  |  |  |  |  |
| باقیمانده                     | ۴          | ۹۳/۴۶          |         | ۷          | ۵۸/۵۶          |         | ۳             | ۳/۵۶           |         | ۳          | .۰/۰۰۴۳        |         |            |                |   |            |                |   |       |  |  |  |  |  |
| عدم تطبیق                     | ۱          | .۰/۶۸۴۰        | .۰/۹۴۵۶ | ۴          | ۳۹/۲۶          | .۰/۷۶۳  | ۱             | ۶/۹۸           | .۰/۱۹۰۹ | ۱          | .۰/۰۰۳۳        | .۰/۴۹۱۱ |            |                |   |            |                |   |       |  |  |  |  |  |
| خطا                           | ۳          | ۱۲۴/۳۹         |         | ۳          | ۸۴/۲۹          |         | ۲             | ۱/۸۴           |         | ۲          | .۰/۰۰۴۸        |         |            |                |   |            |                |   |       |  |  |  |  |  |
| کل                            | ۲۰         |                |         | ۲۰         |                |         | ۱۹            |                |         | ۱۹         |                |         |            |                |   |            |                |   |       |  |  |  |  |  |



شکل ۸. سطح پاسخ و خطوط تراز سفتی بافت به ازای تغییرات زمان و دما بدون اعمال فراصوت



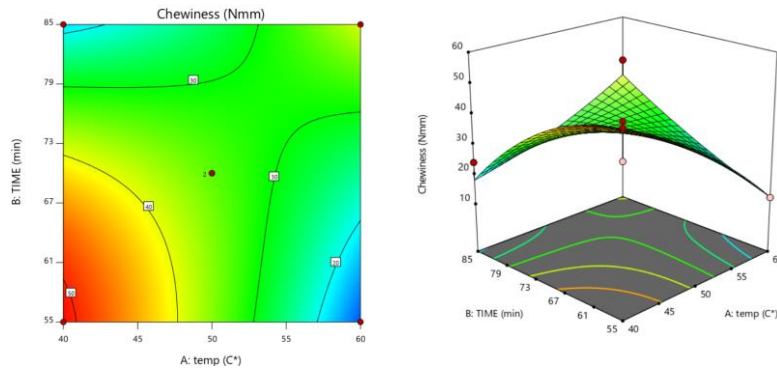
شکل ۹. سطح پاسخ و خطوط تراز سفتی بافت به ازای تغییرات زمان و دما با اعمال فراصوت

**قابلیت جویدگی**

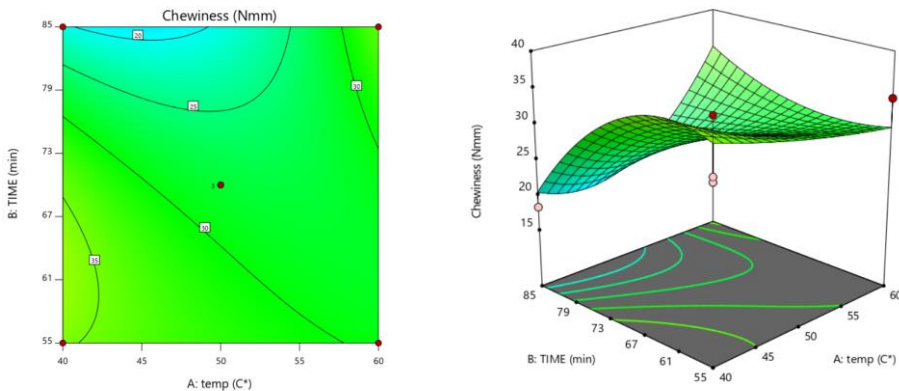
مدل رگرسیونی درجه سوم بین متغیرهای مستقل (دما، زمان و فراصوت (با و بدون)) و قابلیت جویدگی<sup>۱</sup> (CH)  $R^2=0.8779$  بدست آمد (رابطه ۱۱).

$$\text{CH} \quad (\text{N.mm}) = 31/0.5 - 5/79A - 5/17B + 2/97C + 9/98AB - 3/21AC + 0/525 \\ 2/4B^2 + 5/0.1ABC + 3/18A^2B - 2/34A^2C + 4/65AB^2 - 0/516B^2C \quad (11)$$

همانطور که در جدول (۴) تحلیل واریانس مدل رگرسیونی درجه چهارم برای شاخص قابلیت جویدگی نمونه پس از تیمار دهی را نشان می‌دهد، مدل پیشنهادی در پیش‌بینی روند کلی شاخص قابلیت جویدگی با متغیرهای مستقل انتخابی در سطح ۵ درصد معنی‌دار است اما اثر امواج فراصوت بر جویدن در سطح ۵ درصد معنی‌دار نیست. با توجه به شکل (۱۰) و (۱۱)، با افزایش همزمان دما و زمان، شاخص جویدن کاهشی است. محققین دلیل نرم شدن بافت محصول را کاهش انرژی جویدگی و افزایش قابلیت جویدگی نمونه‌ها بیان نموده‌اند که آن هم به دلیل افزایش همچسبی بین ذرات تشکیل دهنده نمونه است. نتایج حاصل در این بررسی با پژوهش مستغان و همکاران (۲۰۱۲) درمورد خمیر خرما همسان است.



شکل ۱۰. سطح پاسخ و خطوط تراز شاخص جویدن به ازای تغییرات زمان و دما بدون اعمال فراصوت



شکل ۱۱. سطح پاسخ و خطوط تراز شاخص جویدن به ازای تغییرات زمان و دما با اعمال فراصوت

**همچسبی (خاصیت صمغی بودن)**

معادله درجه ۴ (رابطه ۱۲) مدل رگرسیونی بین متغیرهای مستقل (دما، زمان و فراصوت (با و بدون)) و متغیر وابسته همچسبی<sup>۲</sup> (G) با  $R^2=0.9808$  بدست آمد.

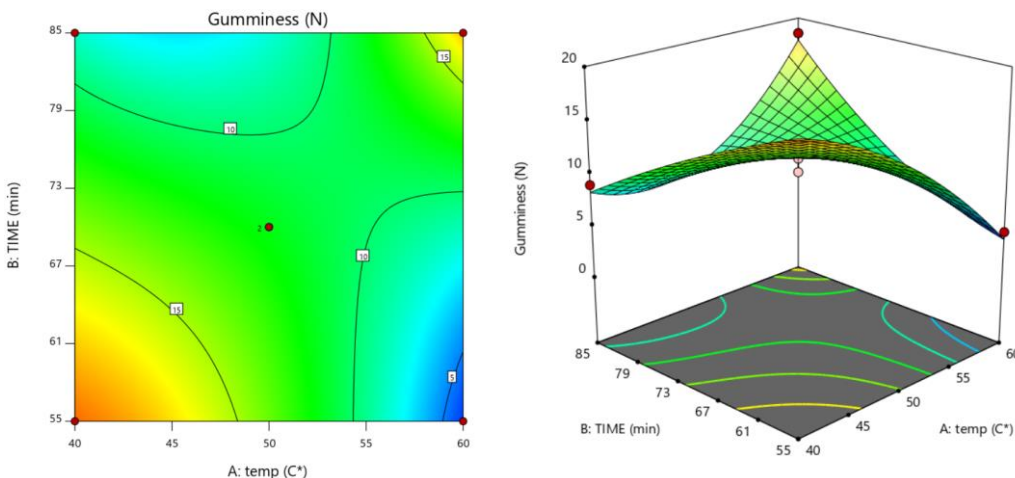
$$G(N) = 12/23 - 2/41A - 2/38B - 0/674C + 4/6AB - 1/467AC - 0/537BC + 0/49A^2 - 1/0.6B^2 + 1/66ABC + 2/42A^2B^2 + 0/386B^2C + 1/4A^2B^2 + 1/25A^2BC - 1/22AB^2C \quad (12)$$

مدل پیشنهادی نیز در پیش‌بینی روند مقدار همچسبی با متغیرهای مستقل انتخابی در سطح ۵ درصد معنی‌دار است اما اثر امواج فراصوت در سطح ۵ درصد معنی‌دار نیست (جدول ۴).

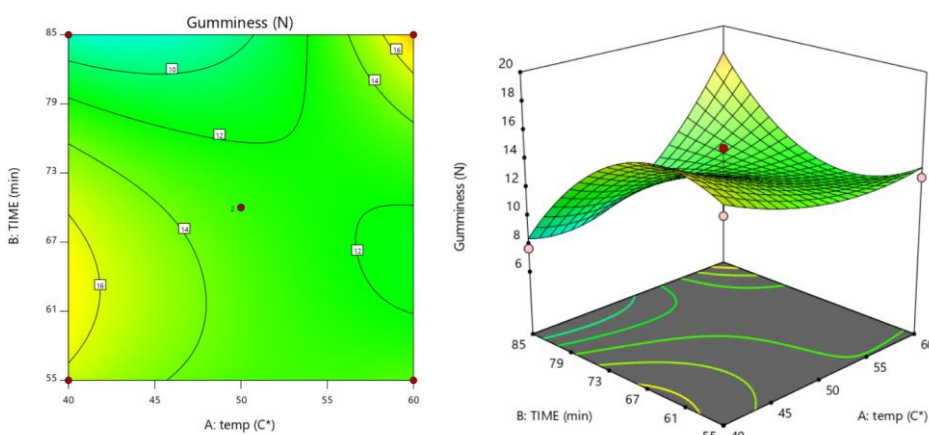
1. Chewiness

1. Gumminess

در شکل (۱۲) با افزایش دما و زمان میزان همچسبی کاهشی می‌شود و با افزایش توام زمان و دما در هر دو نمودار، همچسبی در ابتدا کاهش می‌یابد و بعد از یک بازه دمایی و زمانی شیب نمودار شروع به افزایش می‌کند. شکل (۱۳) نشان می‌دهد با افزایش دما، مقدار همچسبی کاهشی است اما با افزایش دما مقدار همچسبی ابتدا کاهش و پس از نقطه میانی شروع به افزایش می‌کند. همچنین با افزایش هم زمان دما زمان، مقدار همچسبی ابتدا کاهش یافته و پس از نقطه میانی شروع به افزایش می‌کند. مستغان و همکاران علت کاهش یافتن همچسبی در بازه هایی از دما و زمان را کاهش نیروی رسانی بین ذرات نمونه تحت تیمار بیان نموده‌اند که با افزایش همچسبی، محصول کیفیت مطلوب‌تری پیدا می‌کند.



شکل ۱۲. سطح پاسخ و خطوط تراز همچسبی به ازای تغییرات زمان و دما بدون اعمال فراصوت



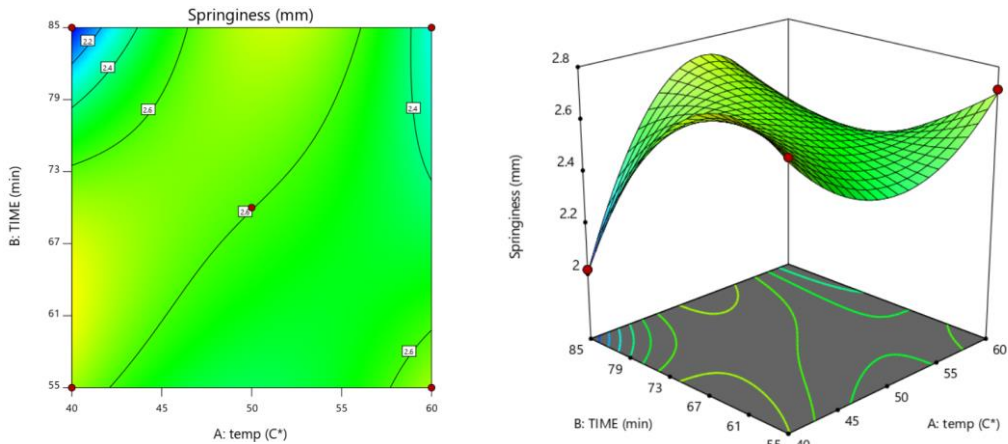
شکل ۱۳. سطح پاسخ و خطوط تراز همچسبی به ازای تغییرات زمان و دما با اعمال فراصوت

### فریت

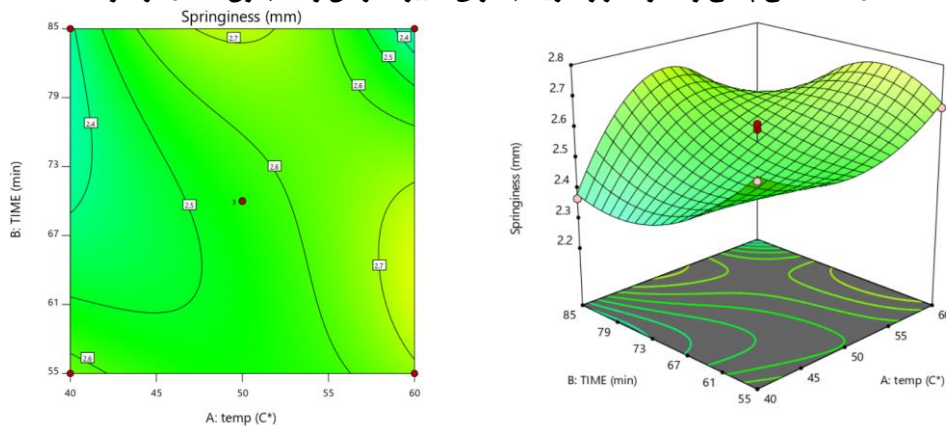
مدل رگرسیونی بین متغیرهای مستقل (دما، زمان و فراصوت (با و بدون)) و متغیر وابسته فریت<sup>۱</sup> (S) به صورت معادله درجه چهارمی (رابطه ۱۳) با  $R^2 = 0.9903$  بدست آمد.

$$S(\text{mm}) = 2/58 + 0/1137B + 0/238C + 0/22AB - 0/1509AC + 0/0244BC - 0/175A^2 + 0/0301B^2 + 0/0482ABC - 0/3293A^2B - 0/196A^2C + 0/183AB^2 - 0/0454B^2C - 0/1272A^2B^2 - 0/0836A^2BC + 0/1921AB^2 \quad (13)$$

در طبق جدول (۴)، مدل پیشنهادی در پیش‌بینی روند مقدار فریت با متغیرهای مستقل انتخابی در سطح ۵ درصد معنی‌دار می‌باشد، اما اثر دما و امواج فراصوت در سطح ۵ درصد معنی‌دار نیست. طبق شکل‌های (۱۴) و (۱۵) با افزایش زمان، میزان فریت ابتدا افزایش و سپس کاهشی می‌شود که با نتایج مستغان و همکاران (۲۰) که در بررسی خود به تأثیر بخاردهی بر خمیر خرما پرداختند، مطابقت دارد.



شکل ۱۴. سطح پاسخ و خطوط تراز فریت به ازای تغییرات زمان و دما بدون اعمال فراصوت



شکل ۱۵. سطح پاسخ و خطوط تراز فریت به ازای تغییرات زمان و دما با اعمال فراصوت

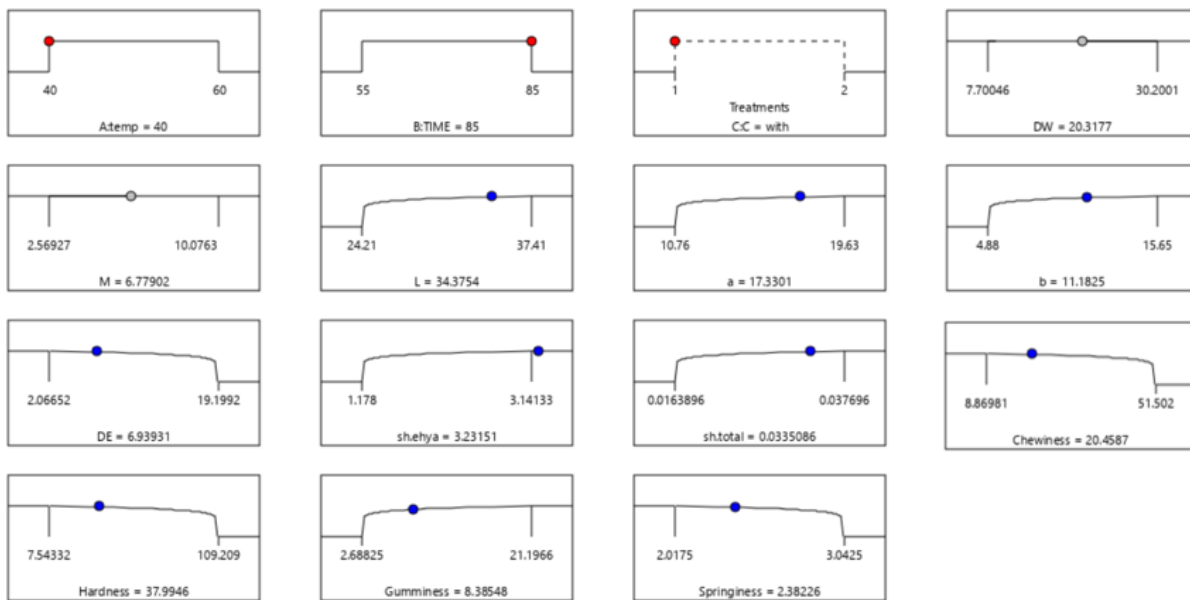
**بهینه یابی**

برای بهینه یابی فرایند رطوبتدهی خرمای دیری با و بدون اعمال امواج فراصوت، شرایط مرزی متغیرهای مستقل و متغیرهای وابسته به صورتی تعیین شد که پارامترهای مستقل در محدوده تعیین شده و پاسخ مربوطه با درجه اهمیت ۵ برای بیشینه شدن قرار داشته باشد. همانطور که در شکل (۱۶) دیده می‌شود، مقدار بهینه پیش‌بینی شده برای مقدار رطوبت  $77/6$  درصد، شاخص  $L_{34/37}$ ، شاخص  $a_{17/33}$ ، شاخص  $b_{11/18}$   $\Delta E_{11/18}$ ،  $N_{20/45}$ ،  $g_{100/10}$  g، قند احیاء  $3/23$   $g_{100/9}$  g، سفتی  $37/99$  N.mm، جویدگی  $20/45$  N.mm و فریت  $2/38$  mm بدست آمد. همچنین بهینه مقادیر متغیرهای مستقل دمای رطوبتدهی  $40$  درجه سلسیوس، زمان رطوبتدهی  $85$  دقیقه و با اعمال فراصوت بدست آمد (شکل ۱۶).

**نتیجه‌گیری و پیشنهادها**

نتایج بررسی تأثیر رطوبت دهی و امواج فراصوت بر ویژگیهای خرمای دیری خوزستان نشان داد مدل رگرسیونی پیشنهادی در تعیین اثر رطوبتدهی بر درصد رطوبت، قند احیاء، قند کل، شاخص‌های رنگی  $L_a$ ,  $L_b$ , سختی، جویدگی، همچسبی و فریت نمونه‌های تحت تیمار معنی‌دار است. بررسی نقطه میانی نشان می‌دهد مقدار تغییرات رطوبت دهی با فراصوت بر درصد رطوبت و قند احیاء نمونه‌های تحت تیمار به ترتیب  $7/47$  درصد و  $1/34$  برابر نسبت به تیمار بدون فراصوت بیشتر گردید که بیان کننده تأثیر بیشتر فراصوت بر نمونه‌ها بود. نتایج حاصل از بررسی تأثیر سطوح دمایی و زمانی استفاده شده (و نه الزاماً همه سطوح دمایی و زمانی ممکن) بر دیگر صفات کیفی مانند شاخص‌های رنگی  $a$ ,  $b$ , اختلاف معنی‌داری (در سطح ۵ درصد) مشاهده نشد. عدم معنی‌داری اثر برخی از پارامترها همچون امواج فراصوت در برخی شاخص‌های کیفی را می‌توان به بی اثر بودن رطوبتدهی و اعمال فراصوت بر نمونه‌های تیماری و یا دقت ابزار اندازه‌گیری و نزدیک بودن دامنه سطوح آزمایش مرتبط دانست. تغییرات دما در بازه‌ای حول هر سطح تیمار توسط دستگاه کنترل می‌گردد، بنابراین ممکن است در سطوح آزمایش نزدیک به هم تداخل ایجاد شود. بررسی‌های انجام شده نشان می‌دهد سطح دمایی  $40$  درجه سلسیوس و بازه زمانی  $85$  دقیقه را با اعمال فراصوت می‌توان به عنوان نقطه بهینه معرفی کرد. با وجود اینکه امواج فراصوت بر برخی صفات اثر داشت،

برای استفاده از آن باید قیمت تجهیزات و صرفه اقتصادی نیز مدنظر قرار گیرد.



Desirability = 0.961

شکل ۱۶. شرایط بهینه سازی متغیرهای مستقل برای بهینه کردن رطوبتدهی به خرمای رقم دیری

## سپاسگزاری

از دانشگاه شهید چمران اهواز به خاطر تأمین هزینه‌های اجرای این پژوهش (در قالب قرارداد پژوهانه شماره SCU.AA99.646) قدردانی می‌گردد.

## منابع

اشراقی، الهه؛ مقصودلو، یحیی؛ کاشانی نژاد، مهدی؛ بیرقی طوسی، شهرام و اعلمی، مهران (۱۳۹۰). بررسی اثر پیش تیمار فراصوت روی خشک شدن ورقه‌های کیوی. مجله پژوهش‌های علوم و صنایع غذایی ایران، ۷(۴)، ۲۷۳-۲۷۹. doi:10.22067/ifstrj.v7i4.11706.

بی‌نام (۱۴۰۲). آمار نامه کشاورزی سال ۱۴۰۱. جلد سوم: گزارش محصولات باگی، قارچ و گلخانه‌ای. معاونت آمار مرکز فناوری اطلاعات و ارتباطات، ۴۰۱ ص.

مستungan، احمد؛ لطیف التجار، سینا و مدرسی، فاطمه (۱۳۹۲). تاثیر شرایط بخاردهی بر خصوصیات بافت خمیر خرمای رقم استعمران، هشتمن کنگره ملی مهندسی ماشین‌های کشاورزی (بیوپردازی) و مکانیزاسیون ایران، ۱۱-۹ بهمن ماه، مشهد. <https://civilica.com/doc/284494>.

مستungan، احمد؛ لطیفیان، مسعود؛ تراهی، عزیز؛ امانی، مجید؛ محبی، عبدالحمید و حوری، مجیدعلی (۱۳۹۶). راهنمای فنی کاشت داشت و برداشت خرما. نشر آموزش، مؤسسه آموزش و ترویج کشاورزی، ۲۸۲ ص.

موسوی، افسون و حجتی، محمد (۱۳۹۰). بررسی خصوصیات کیفی، کالری زایی و عناصر معدنی چهار رقم خرمای عمدۀ استان خوزستان. علوم و صنایع غذایی ایران، ۸(۱)، ۳۱-۳۷. SID. <https://sid.ir/paper/71939/fa>.

مهریار، اسماعیل؛ صادقی، مرتضی؛ رضوی، سید جلیل و فرقانی، احسان (۱۳۹۴). شاخص‌های کیفی خرمای رقم استعمران تحت تأثیر روش‌های مختلف خشک کردن. نشریه تولید و فرآوری محصولات زراعی و باگی، ۵(۱۶)، ۳۱۳-۳۰۵.

## REFERENCES

- Abdelkarim, D. O., Mohamed Ahmed, I. A., Ahmed, K. A., Younis, M., Yehia, H. M., Zein El-Abedein, A. I., & Alhamdan, A. (2022). Extending the shelf life of fresh Khalal Barhi dates via an optimized postharvest

- ultrasonic treatment. *Plants*, 11(2029). <https://doi.org/10.3390/plants11152029>
- AlYammahi, J., Hai, A., Krishnamoorthy, R., Arumugham, T., Hasan, S. W., & Banat, F. (2022). Ultrasound-assisted extraction of highly nutritious date sugar from date palm (*Phoenix dactylifera*) fruit powder: Parametric optimization and kinetic modeling. *Ultrasonics Sonochemistry*, 88. <https://doi.org/10.1016/j.ultsonch.2022.106107>
- Anonymous (2022). Agricultural statistics of 2022. Volume III: Report of Horticultural Crops, Mushrooms and Greenhouse Crops. *Ministry of Agriculture Jahad. Statistics deputy of Information and Communication Technology Center*, 401 p, (In Persian).
- Berrebeuh, M.H., Boubekri, A., Balti, M.A., Chouicha, S., Mennouche, D. and Kechaou, N. (2017), Optimized Processing Parameters in Post-Harvest Treatments of Algerian Dry Dates using Hot Water and Hot Vapor Successive Operations. *Journal of Food Process Engineering*, 40: e12459. <https://doi.org/10.1111/jfpe.12459>
- Bhargava, N., Mor, R. S., Kumar, K., & Sharanagat, V. S. (2021). Advances in application of ultrasound in food processing: A review. *Ultrasonics Sonochemistry*, 70. <https://doi.org/10.1016/j.ultsonch.2020.105293>
- Boubekri A., Benmoussa H., Courtois F., & Bonazzi C., 2010. Softening of Overdried 'Deglet Nour' Dates to Obtain High-Standard Fruits: Impact of Rehydration and Drying Processes on Quality Criteria. *Drying Technology*, 28, 222–231.
- Entezari, M. H., Hagh Nazary, S., & Haddad Khodaparast, M. H. (2004). The direct effect of ultrasound on the extraction of date syrup and its micro-organisms. *Ultrasonics Sonochemistry*, 11(6), 379-384. <https://doi.org/10.1016/j.ultsonch.2003.10.005>
- Eshraghi, A., Maqsoodlou, Y., Kashaninejad, M., Biraqi Toosi, Sh., & Alami, M. 2012. Investigating the effect of ultrasound pretreatment on the drying of kiwifruit leaves. *Iranian Food Science and Technology Research Journal*, 7(4), 273-279, (In Persian).
- FAO (2022). Crops and livestock products. Available on <https://www.fao.org/faostat/en/#data/TCL> and <https://www.fao.org/faostat/en/#data/QCL>
- Keramat Jahromi, M., Rafiee, S., Jafari, A., Ghasemi, M., Mirasheh, R., Mohtasebi, S. 2008. Some physical properties of date fruit (cv. Dairi). *International Agrophysiology*, 22(3), 221-224.
- Li, J., Hussain, I., Azam, M.; Khan, M.A., Akram, M.T., Naveed, K.; Asif, M., Anjum, N.; Zeng, J., Zhang, J. 2023. HotWater Treatment Improves Date Drying and Maintains Phytochemicals and Fruit Quality Characteristics of Date Palm (*Phoenix dactylifera*). *Foods*, 12, 2405. <https://doi.org/10.3390/foods12122405>
- Mehryar E., Sadeghi M., Razavi SJ., & Forghani E. 2015. Qualitative Indices of Istamaran Date Variety Affected by Various Drying Methods. *Journal of Crop Production and Processing*, 16 (5), 305-313, (In Persian).
- Mohammed, M., Alqahtani, N. K., & Ali, S. A. (2024). Development, RSM-based modeling, and process optimization of an ultrasonic coating system for extending the storage life of fresh fruits. *Frontiers in Sustainable Food Systems*, 8, 1403164. <https://doi.org/10.3389/fsufs.2024.1403164>
- Mostaan A., Latif al-Tajjar S., & Madrasi F. 2012. Effects of steaming on textural properties of dates paste (Etamaran cultivar). *The 8th National Congress of Agricultural Machinery Engineering (Biosystem) and Mechanization*, Ferdowsi University of Mashhad: 6 p, (In Persian).
- Mostaan A., Latifian M., Tarahi A., Amani M., Mohibi AA., & Ali Houri M. 2016. Technical guide for planting, growing and harvesting dates. *Publication of Agricultural Education*, 282 p, (In Persian).
- Mousavi A. & Hojjati M. 2010. Investigation on the quality characteristics, energy content and mineral elements of four commercial date varieties of Khuzestan province: 7 p. *Iranian Journal of Food Science and Technology*, 8(1), 31-37. SID. <https://sid.ir/paper/71939/en> (In Persian).
- Rakesh Reddy, S.V., Singh, R.S., Meena, R., Berwal, M.K.; Sarolia, D.K., Palpandian, P. 2023 Impact of Hot Water Pre-Treatments on the Drying Efficiency and Quality of Dates cv. Medjool. *Horticulturae*, 9, 784. <https://doi.org/10.3390/horticulturae9070784>
- Rygg, L. G., 1975. *Data Development, Handling, and packing in the united state*. Agricultural Research Service, United state Department of Agriculture , 61p.



## The effect of temperature, time and the use of ultrasonic waves on the process of Deiri dates hydration in Khuzestan

### EXTENDED ABSTRACT

#### Introduction:

Dates are one of Iran's major horticultural crops being exported all over the world. Dairi is considered a very popular dry date variety Khuzestan province. In addition to domestic consumption, Dairi also has its own fans abroad. So far, over 500,000 seedlings of commercial dairi cultivars have been produced and distributed among the country's palm-growing provinces. The Dairi dates are easily transported due to the dry texture of the fruit. On the other hand, increasing the hardness of its tissue during storage is the first problem of the processing industries. Regarding the high volume of date production in Khuzestan and the need for investigation the methods affecting preservation and improvement of its quality, the effect of hydration process on the quality of Dairi date fruits was studied.

#### Materials and Methods:

The study was carried out at Shahid Chamran university of Ahvaz. Dairi Palm samples, uniform in appearance and weight, were purchased from a local palm grove. After separating the damaged fruits, healthy fruits were divided into 25 fruit packs. The hydration applied with a water bath at five temperature levels (30, 40, 50, 60 and 70 degrees Celsius), five soaking durations (40, 55, 70, 85, and 100 minutes) and two condition of ultrasonic waves (ie, with and without ultrasonic). Fruits without undergoing moisturizing process were considered as control. The dependent qualitative parameters measured in this study were moisture content, color, fruit texture, and sugar content. In ultrasonic assisted hydration, date fruit samples were weighed then placed inside the ultrasonic bath containing distilled water at the desired temperature under a constant ultrasonic wave frequency of 28 kHz. Whenever each treatment's time period elapsed, the samples were removed from the machine, their surface water was taken off using a filter paper, then their qualitative parameters were measured. For samples under the hydration process without ultrasonic waves, this process was the same but the ultrasonic wave generator was off. To calculate the percentage of weight gain of fruits from each treatment, 10 fruits were randomly selected, their initial pre-treatment weight ( $w_i$ ) and final post-treatment weight ( $w_f$ ) were determined. The color of the fruit was determined using the HunterLab color meter (Konica MINOLTA, INC). Color attributes include three indicators L, a, and b. For texture analysis, the TPA test was conducted using QTS Farnell25 texture analyzer. Total and inverted sugar of the samples determined according to the fehling test. Response surface method (RSM) with central composite design (CCD) was used to investigate the effect of independent variables (namely temperature (A), time (B), ultrasound (C)) on the above mentioned dependent qualitative variables of Dairi fruits.

#### Results and Discussion:

The results showed that the proposed regression models were significant in determining the effect of hydration on moisture content, reduced and total sugar, color indicators L, E, hardness, chewiness, gumminess and springiness of the treated samples. study showed that the effect of hydration with ultrasound on moisture content and reduced sugar content of the samples was 7.47 percent and 1.34 timest more than the corresponding amount in hydration without ultrasound, which showed the greater effect of ultrasound on the samples. According to the results, the effect of temperature and time levels applied in the current study (and not necessarily all possible temperature and time duration) on other qualitative traits such as color indicators a, b significant difference (at the level of 5 percent) were not observed. Based on the optimization, the temperature level of 40 degrees Celsius and the time of 85 minutes with the application of ultrasound can be stated as the optimal conditions for the hydration process of the Dairi date fruits under test. The use of ultrasonic waves, despite the effect on some traits, should also be economically justified.

#### Conclusion:

This study showed that water temperature level of 40 degrees Celsius and the time duration of 85 minutes along with applying ultrasonic waves can be considered as an optimal set point. Although ultrasonic application was effective on some traits, the cost of the equipment and economy should be considered for its use.